

4 Kiel 62 62/18

Journal of Clinical Chemistry and Clinical Biochemistry

Zeitschrift für Klinische Chemie und Klinische Biochemie

Gemeinsames Organ der Deutschen, der Österreichischen und der
Schweizerischen Gesellschaft für Klinische Chemie

Editors in Chief Verantwortliche Herausgeber

Johannes Büttner, Hannover **Ernst Schütte, Berlin**

Managing Editor Schriftleiter Friedrich Körber, Berlin

Special Editor for IFCC Recommendations Nils-Erik Saris, Helsinki

Editors Herausgeber

Hugo Aebi, Bern
Heinz Breuer, Bonn
Joachim Brugsch, Berlin
Johannes Büttner, Hannover
Hans Joachim Dulce, Berlin
Jörg Frei, Lausanne
Wolfgang Gerok, Freiburg

Helmut Greiling, Aachen
Erich Kaiser, Wien
Hermann Matterheimer, Chicago
Ernst Schütte, Berlin
Dankwart Stamm, München
Hansjürgen Staudinger, Freiburg
Otto Wieland, München

Advisory Board unter Mitarbeit von

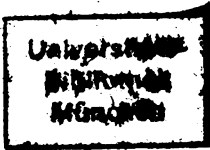
Klaus Borner, Berlin
Eckhart Buddecke, Münster
Hans-Christoph Curtius, Zürich
Manfred Doss, Marburg
Hartmut Dost, Gießen
Hans Faillard, Saarbrücken
Günther Fuchs, Berlin
Erich Gladtke, Köln
Heinz-Werner Goedde, Hamburg
Erwin Hansert, München

Hans Ludwig Krüskenper, Düsseldorf
Georg Löffler, Regensburg
Mathias M. Müller, Wien
Kurt Oette, Köln
Jean-Paul Persijn, Amsterdam
Ladislaus Róka, Gießen
Ellen Schmidt, Hannover
Ivar Trautschold, Hannover
Gerhard Uhlenbrück, Köln

Volume 18, 1980



Walter de Gruyter · Berlin · New York



Attention before copying!

Do you photocopy articles from this periodical? If so, have you made certain that you are not violating the legal copyright regulations and making yourself liable to prosecution?

According to copyright law it is only permissible to make a few copies of individual articles for personal use. Reproduction of articles for commercial use by an industrial enterprise is subject to charge. Detailed information can be obtained free of charge from the VG Wissenschaft GmbH, "Copyright", Großer Hirschgraben 17-21, D-6000 Frankfurt/Main, this company being responsible for collection of copying fees.

Copying in the USA!

The appearance of the code at the bottom of the first page of an article in this journal indicates the copyright owner's consent that copies of the article may be made for personal or internal use, or for the personal or internal use of specific clients. This consent is given on the condition, however, that the copier pay the stated per-copy fee through the Copyright Clearance Center, Inc. for copying beyond that permitted by Sections 107 or 108 of the U.S. Copyright Law. This consent does not extend to other kinds of copying, such as copying for general distribution, for advertising or promotional purposes, for creating new collective works, or for resale.

Titel-Nr. 3 10 900 339 3

ISSN: 0340-076X

Copyright © 1980 by Verlag Walter de Gruyter & Co.

Typesetting	IBM-Composer, Arthur Collignon, Berlin
Printing	Mercedes-Druck, Berlin
Binding	Buchbinderei Spiller, Berlin
Advertising	Merkur-Werbung GmbH, Postfach 1245, D-5210 Troisdorf 1

Editorial Assistant and Technical Coordinator Joan F. Meier

Printed in Germany

All rights reserved, including those of translations into foreign languages. No part of this journal may be reproduced in any form – by photoprint, microfilm or any other means – nor transmitted nor translated into a machine language without written permission from the publisher.

The quotation of registered names, trade names, trade marks, etc. in this journal does not imply, even in the absence of a specific statement that such names are exempt from laws and regulations protecting trade marks, etc. and therefore free for general use.



Verlag Walter de Gruyter & Co., Genthiner Straße 13, D-1000 Berlin 30, ☎(030) 261 13 41, Telex 0184 027
Walter de Gruyter, Inc., 200 Saw Mill River Road, Hawthorne, N.Y. 10532, ☎(914) 747-0110, Telex: 646 677

WALTER DE GRUYTER · BERLIN · NEW YORK

CONTENTS/INHALTSÜBERSICHT

Reviews/Übersichten

- Ebel, H. and Günther, T.
Magnesium metabolism: A review
Magnesium-Stoffwechsel: Eine
Übersicht 257

- Haeckel, R.
Future perspectives of automation
in clinical chemistry
Zukünftige Perspektiven der Auto-
matisierung in der Klinischen
Chemie 455

- Marschner, I., Herndl, R. and Scriba, P. C.
Comparison of four different algo-
rithms for the calculation of radio-
immunoassay standard curves
Vergleich von vier verschiedenen Algo-
rithmen zur Berechnung von Stan-
dardkurven 105

- Oellerich, M.
Enzyme immunoassays in clinical
chemistry: Present status and trends
Enzymimmunotests in der Klinischen
Chemie: Gegenwärtiger Stand und
Entwicklungstendenzen 197

- Tietz, N. W.
Present and future trends in selected
areas of clinical enzymology
Gegenwärtige und zukünftige Trends
in ausgewählten Gebieten der
klinischen Enzymologie 793

Original papers/Originalarbeiten

- Agostoni, A., Gerli, Gian Carla, Beretta,
L., Bianche, M., Vignali, M. and Bombelli, F.
Superoxide dismutase, catalase and
glutathione peroxidase activities in
maternal and cord blood erythrocytes
Superoxiddismutase-, Katalase- und
Glutathionperoxidase-Aktivitäten
in mütterlichen und Nabelschnurblut-
Erythrocyten 771

- Bachmann, C. and Colombo, J. P.
Determination of orotic acid in
children's urine
Bestimmung der Orotsäure im Urin
bei Kindern 293

- Bartmann, P. und Brendel, W.
Isolierung und Nachweis antigen-
spezifischer T-Zell-Rezeptoren
Isolation and identification of
antigen-specific T-cell-receptors 1

- Bencze, K. und Sabatke, L.
Schnelle Phänotypisierung des
 α_1 -Antitrypsins zur Bestimmung
der Subtypen des Phänotyps MM
Fast α_1 -antitrypsin phenotyping
for the differentiation of PiMM-sub-
types 13

- Benes, P., Morschies, B. und Holzmann, H.
Radioimmunologische Bestimmungs-
methoden für Dehydroepiandrosteron
und 5-Androsten-3 β , 17 β -diol
Radioimmunoassay of dehydroepian-
drosterone and 5-androsten-3 β , 17 β -
diol 117

- Blijenberg, B. G. and Leijnse, B.
A survey report on the determination
of total bilirubin in neonatal samples
Bericht über Ringversuche zur Be-
stimmung des Gesamt-Bilirubins
im Serum Neugeborener 27

- Bosak, J., Knoll, E., Ratge, D. and
Wisser, H.
Single-isotope enzymatic derivative
method for measuring catecholamines
in human plasma
Enzymatische Einisotopenderivat-
Methode zur Bestimmung der Cate-
cholamine im Plasma 413

- Breuer, H.
Analytik und biologische Bedeutung
der Steroidepoxide
Analysis and biological significance
of steroid epoxides 937

- Bruckner, A.
Kinetische Glucosebestimmung nach
der Glucosedehydrogenase-Methode
mit dem Analysenautomaten ACP
5040 (Eppendorf)
The kinetic determination of glucose
with the glucose dehydrogenase
method using the Eppendorf
automatic analyzer 5040 275

- Deeg, R., Kraemer, W. and Ziegenhorn, J.
Kinetic determination of serum glu-
cose by use of the hexokinase
glucose-6-phosphate dehydrogenase
method
Kinetische Bestimmung von Glucose
im Serum mit der Hexokinase Glu-
cose-6-phosphat-Dehydrogenase-
Methode 49

- van Eijk, H. G., van Noort, W. L. Kroos,
M. J. and van der Heul, C.
Isolation of the two monoferric
human transferrins by preparative
isoelectric focussing
Isolierung von Transferrin (Fe) (A)
und Transferrin (Fe) (B) des
Menschen durch präparative iso-
elektrische Fokussierung 563

- Férand, G., Klumpp, T., Ragagnin, M.,
Metzger, G. und Métais, P.
Description d'un système informati-
que dans un laboratoire d'analyses bio-
logiques d'urgence
Description of a computer system
for the emergency medical labora-
tory 39

- Gaertner, H. J., Wiatr, Gerlinde and
Kuss, H. J.
4-methoxy-3-hydroxyphenylglycol
as an internal standard for the
determination of 3-methoxy-4-hy-
droxyphenylglycol in urine: results
obtained in depressed patients and
healthy controls
4-Methoxy-3-hydroxyphenylglykol
als interner Standard für die Be-
stimmung von 3-Methoxy-4-hydroxy-
phenylglykol im Harn: Ergebnisse
bei Patienten mit Depression und
gesunden Kontrollpersonen 579

- Gärtner, R., Kewenig, M., Horn, K. and
Scriba, P. C.
A new principle of thyroxine (T_4)
and triiodothyronine (T_3) radio-
immunoassay in unextracted serum
using antisera with binding optima
at extreme pH ranges
Ein neues Prinzip für den Radio-
immunassay von Thyroxin (T_4)
und Triiodthyronin (T_3) im nicht
extrahierten Serum: Verwendung
von Antisera mit Bindungsoptima
bei extremen pH-Bereichen 571

- Gatschke, W., Gawlik, D. and Kraft, D.
Non-destructive neutron activation
analysis of aluminium and phosphorus
in bone biopsies
Zerstörungsfreie Neutronen-Aktivie-
rungsanalyse von Aluminium und
Phosphor in Knochenbiopsien 403

- Gerbitz, K.-D.
Pancreatic B-Zellen-Peptide:
Kinetik und Konzentration von
Proinsulin, Insulin und C-Peptid
in Plasma und Urin, Probleme der
Meßmethoden, klinische Aussage
und Literaturübersicht
Pancreatic B cell peptides: Kinetic
behaviour and concentrations of
proinsulin, insulin and C-peptide
in plasma and urine, problems of
assay methods, clinical significance
and literature review 313

- Gressner, A. M.
Ribosomal protein modifications
in liver injury: Effect of carbon
tetrachloride and extrahepatic
cholestasis on protein phosphorylation
Ribosomale Proteinmodifikationen
bei Leberschädigungen: Einfluß
von Tetrachlorkohlenstoff und
extrahepatischer Cholestase auf
die Proteinkinaseaktivierung 111

- Gressner, A. M.
Evaluation of the assay for serum
monoamine oxidase – an index of
hepatic fibrosis
Bewertung der Aktivitätsbestim-
mung der Monoaminoxidase im
Serum – ein Parameter der Leber-
fibrose 921

Gressner, A. M., Köster-Eiserfunke, W., Van de Leur, E. and Greiling, H. Metabolic and structural studies on serum and liver glycosaminoglycans in normal and liver-injured rats Metabolische und strukturelle Untersuchungen der Glykosaminoglykane im Serum, im Vergleich zur Leber, bei normalen und leber-geschädigten Ratten	Heimsch, E. und Dobler, T. Ein Qualitätskontrollsyste für Biotransformationenzyme in der Dünndarmmucosa A system for quality control of biotransformation enzymes in the mucosa of small intestine	775	Ikeda, M., Nanba, N., Hayakawa, S. and Ohmori, S. Colorimetric determination of glycine conjugates of bile acids Kolorimetrische Bestimmung von Glycin-Konjugaten von Gallensäuren	407
Gressner, A. M. und Walraff, P. Der Einsatz der Lasernephelometrie zur Bestimmung und rechnerunterstützten Auswertung der Fibronectinkonzentration in verschiedenen Körperflüssigkeiten The use of laser nephelometry for the determination and computer-assisted calculation of the fibronectin concentration in various body fluids	Heinz, F., Pilz, Renate, Reckel, Sylvia, Kalden, J. R. and Haacke, R. A new spectrophotometric method for the determination of 5'-nucleotidase Eine neue spektrophotometrische Methode zur Bestimmung von 5'-Nucleotidase	781	Jäckel, W., Heimes, J. und Herrmann, J. Der Einfluß des Funktionszustands der Schilddrüse auf den Anstieg des cyclischen AMP im Plasma nach Glukagoninjektion The effect of thyroid function on the increase of plasma cyclic AMP following glucagon injection	909
Groome, N. P. Superiority of ABTS over Trinder reagent as chromogen in highly sensitive peroxidase assays for enzyme linked immunoabsorbent assay Überlegenheit von ABTS über Trinder's Reagenz als Chromogen in hochempfindlichen Peroxidase-Bestimmungen für „Enzyme Linked Immunoabsorbent Assay“	van Helden, W. C. H., van der Slik, W., Persijn, J.-P. and Souverijn, J. H. M. Automated method for the determination of 5'-nucleotidase in serum by continuous flow analysis Automatisches Verfahren zur Ermittlung der 5'-Nucleotidase-Aktivität im Serum mit kontinuierlicher Durchflußanalyse	333	Jüppner, H., Mohr, H. and Hesch, R.-D. Adsorption of parathyroid pitfall for solid phase assays using radio-labelled antibodies? Adsorption von Parathyroid: Werden dadurch Solid-Phase-Assays in Frage gestellt?	585
Gundlach, G. und Mühlhausen, B. Untersuchungen zur Kupplung des 1-Naphthols mit Fastred-TR Untersuchungen zur Optimierung einer kontinuierlichen Bestimmung des sauren Phosphatase, I. Mitteilung Coupling of 1-naphthol with fast-red-TR Studies on the optimization of a continuous determination of acid phosphatase, I.	Hinghofer-Szalkay, H. und Wurm, H. Der Einfluß von Hämolysen auf Dichtemessungen an Kapilarblutplasma mittels der Biegeschwingermethode The influence of haemolysis on capillary blood plasma density measurements using the mechanical oscillator technique	615	Kälberg, M. and Tobiasson, P. Determination of cholic and cheno-deoxycholic acid in serum: Evaluation of two commercial radioimmunoassay methods Bestimmung von Cholsäure und Chenodesoxycholsäure im Serum: Bewertung zweier käuflicher Radioimmunassay-Methoden	491
Hajdu, P., Uihlein, M. and Damm, D. Quantitative determination of clobazam in serum and urine by gas chromatography and fluorometry Bestimmung von Clobazam in Serum und Urin mittels Gaschromatographie, Dünnschichtchromatographie und Fluorometrie	Hoffmann, G. E., Blum, K. and Weiss, L. Overestimation of glucose in uranyl acetate-treated samples: Modification of the deproteinization method Überhöhte Glucosewerte in Uranylacetat-behandelten Proben: Modifikation der Enteiweißungsmethode	129	Kahn, S. N., Shortman, R. C., Khan, R. A. and Thompson, E. J. Effect of sample preparation on cerebrospinal fluid protein patterns in polyacrylamide gels Effekt der Probenvorbereitung auf das Proteinmuster von Liquor in Polyacrylamidgelen	23
Haeckel, R. Simplified determinations of the "true" creatinine concentration in serum and urine Vereinfachte Verfahren zur Bestimmung der „wahren“ Kreatinin-Konzentration	Honecker, H., Coper, H., Fähndrich, Christa and Rommelspacher, H. Identification of tetrahydronorharmane (tetrahydro- β -carboline) in human blood platelets Nachweis von Tetrahydronorharman (Tetrahydro- β -carbolin) in menschlichen Thrombocyten	133	Kamarýt, J. and Matýšek β -Glucuronidase activity in amniotic fluid Die Aktivität der β -Glucuronidase im Fruchtwasser	611
Hansert, E. and Stamm, D. Determination of assigned values in control specimens for internal accuracy control and for inter-laboratory surveys. Evaluation of 200 different lots with identical experimental design: Experiences and conclusions Sollwert-Ermittlung in Kontrollproben für die laborinterne Richtigkeitskontrolle und für Ringversuche: Erfahrungen an 200 Chargen mit derselben Versuchsanordnung	Hubsch, G., Houot, O. and Henry, J. Influence of turbidity on photometric assays: A blank sample must always be used Einfluß der Trübung auf photometrische Bestimmungen: Muß jeweils ein Proben-Leerwert benutzt werden?	149	Kaulhausen, H., Rohner, H. G., Siedek, M., Lafosse, M. und Breuer, H. Bindungskapazität von sexualhormon- und corticosteroid-bindendem Globulin im Serum bei Männern mit Lebercirrhose Binding capacity of sex hormone binding globulin and corticosteroid binding globulin in serum of male patients with liver cirrhosis	137
	Ideo, G., Tempini, Silvana, Bellobuono, A., Bellati, G. and Ronchi, G. Biochemical and histochemical estimations of liver γ -glutamyltransferase activity in ethanol-fed rats Biochemische und histochemische Untersuchung der Aktivität von γ -Glutamyltransferase in der Leber Ethanolgefütterter Ratten	237	Kleesiek, K., Czernik, A. und Eberhard, A. Klinisch-chemische Diagnostik depressiver Syndrome mit Hilfe eines neuroendokrinen Funktionstestes Clinical chemical diagnosis of affective diseases by means of a neuroendocrine function test	867
			Kleine, T. O. Liquordiagnostik: Untersuchungen mit Schnelldiagnostica. Untersuchungen zur Adsorption von Proteinen in Glas- und Kunststoffröhrchen Diagnosis of cerebrospinal fluid: The use of semiquantitative rapid tests. Investigation of the adsorbance of proteins to glass and plastic tubes	7

Kleine, T. O. and Merten, B. Rapid manual immunoturbidimetric and immunoephelometric assays of prealbumin, albumin, IgG, IgA and IgM in cerebrospinal fluid	Lang, C., Gyr, K., Krahenmann, J. A. and Arenz, F. The oral pancreatic function test with N-benzoyl-L-tyrosyl-p-aminobenzoic acid: acute toxicity and effects of renal function on this test	Moser, M., Hinghofer-Szalkay, H., Kenner, Th. und Holzer, H. Die Bestimmung des kolloidosmotischen Drucks aus der Plasmadichte mittels der Biegeschwingermethode
Schnelle manuell-immunoturbidimetrische und immunonephelometrische Tests für Präalbumin, Albumin, IgG, IgA, und IgM im Liquor cerebrospinalis	Der orale Pankreas-Funktions-Test mittels N-Benzoyl-L-tyrosyl-p-aminobenzoësäure: Akute Toxizität und Beeinflussung durch die Nierenfunktion	Measurement of the colloid osmotic pressure from plasma density by means of the mechanical oscillator technique
245	551	233
Knoll, E., Wisser, H. und Rautenstrauch, H. Vergleichende Untersuchung zur diagnostischen Wertigkeit von Diskelektrophorese der Urinproteine und N-Acetylglucosaminidaseausscheidung zur Erkennung von tubulären Nierenschädigungen bei chronischer Polyarthritis Comparative study of the diagnostic value of disc electrophoresis of urinary proteins and measurement of the excretion of N-acetylglucosaminidase for the detection of renal tubule damage in chronic polyarthritis	Lanser, A., Blijenberg, B. G., Wallenburg, H. X. S. and Leijnse, B. Evaluation of an enzyme-immunoassay for the determination of total serum estrogens in pregnancy Evaluation eines Enzymimmunoassay zur Bestimmung der Gesamt-Östogene im Serum während der Schwangerschaft	Müller-Matthesius, R. und Opper, C. Der Einfluß von Meßzeit und Reaktionsmilieu bei kinetischen immunturbidimetrischen Proteinbestimmungen
53	327	Influence of measurement time and reaction medium on kinetic immunoturbidimetric protein determination
Koch, C.-D., Arnst, E. und Rommel, K. Harnstoff, Kreatinin, Harnstoff- und Kreatinin-Clearance: Untersuchungen an 25 gesunden Probanden über ein Jahr Urea and creatinine levels and clearances: Observations in 25 healthy subjects for one year	Lauber, K. Bestimmung von Eisen im Serum: Methodenvergleich Teepol/Dithionit/Bathophenanthrolin gegen Guanidin/Ascorbinsäure/Ferrozin Determination of serum iron; a comparison of two methods: Teepol/dithionite/bathophenanthroline versus guanidine/ascorbic acid/Ferrozine	Naus, A. J., Borst, A. and Kuppens, P. S. The use of patient data for the calculation of reference values for some haematological parameters Die Verwendung von Patientendaten für die Ermittlung von Referenzwerten für einige hämatologische Kenngrößen
423	147	501
Koch, G., Johansson, U. and Arvidsson, E. Radioenzymatic determination of epinephrine, norepinephrine and dopamine in 0.1 ml plasma samples Plasma catecholamine response to submaximal and near maximal exercise Radioenzymatische Bestimmung von Adrenalin, Noradrenalin und Dopamin in 0.1 ml Plasma-Proben. Plasma-Katecholaminkonzentrationen und Plasma-Renin-Aktivität in Ruhe und bei submaximaler und nahezu maximaler Belastung	Lindwall, L., Molin, L. and Bergdahl, B. An evaluation method providing confidence intervals applied to radioimmunoassay Anwendung einer Auswertungsmethode zur Gewinnung von Vertrauensbereichen auf Radioimmunoassays	Newman, R. A., Fricke, U., Klein, P. J., Uhlenbruck, G. and De Vries, A. L. Studies on the fate of defined asialoglycoproteins in the circulation of the mouse Untersuchungen über das Schicksal definierter Asialoglykoproteine im Kreislauf der Maus
367	879	621
Külpmann, W. R. Eine gaschromatographische Methode zur Bestimmung von Carbamazepin, Phenobarbital, Phenytoin und Primidon im gleichen Serumextrakt A gas-chromatographic method for the determination of carbamazepine, phenobarbital, phenytoin and primidone in the same extract of serum	Mann, K., Göring, W., Lipp, W., Keipert, B., Karl, H. J., Geiger, R. and Fink, E. Radioimmunoassay of human urinary kallikrein. Determination of human urinary kallikrein, II Radioimmunoassay für Kallikrein im Harn des Menschen. Bestimmung von menschlichem Harnkallikrein, II	Nocke-Finck, Lieselotte, Breuer, H. und Reimers, D. Wirkung von Rifampicin und Streptomycin auf die Konzentrationen von Testosteron und Cortisol im Blut von Männern Effects of rifampicin and streptomycin on the concentrations of testosterone and cortisol in the blood of men
277	395	897
Külpmann, W. R. Eine gaschromatographische Methode zur gleichzeitigen Bestimmung von E ethosuximid und Valproinat im Serum A gaschromatographic method for the simultaneous determination of ethosuximide and valproate in serum	Milano, G., Schneider, M., Cambon, P., Bouglil, J. L., Barbe, J., Renee, N. and Lalanne, C. M. An improved method for routine analysis of polyamines in biological fluids with a conventional amino acid analyzer Verbesserte Methode zur Routine-Bestimmung von Polyaminen in biologischen Flüssigkeiten mit einem konventionellen Amino-säure-Analysator	Oellerich, M., Engelhardt, P., Schaadt, M. and Diehl, V. Determination of methotrexate in serum by a rapid, fully mechanized enzyme immunoassay (EMIT) Bestimmung von Methotrexat im Serum mit einem rasch durchführbaren, vollmechanisierten Enzymimmunoassay (EMIT)
277	157	169
Külpmann, W. R. Eine gaschromatographische Methode zur gleichzeitigen Bestimmung von E ethosuximid und Valproinat im Serum A gaschromatographic method for the simultaneous determination of ethosuximide and valproate in serum	Mordasini, R. C. and Riesen, W. F. Electroimmunoassay and radioimmunoassay for the quantitation of high density apolipoproteins A-I and A-II Vergleich zwischen Elektroimmunoassay und Radioimmunoassay zur Bestimmung der Apolipoproteine A-I und A-II	Oldendorp, J. und Reinauer, H. Der Einfluß von Insulin auf den Stoffwechsel von isolierten Glomerula der Ratte The effect of insulin on the metabolism of isolated rat glomeruli
339	917	901
		Olek, K., Uhlhass, S. und Wardenbach, P. Quantitative Bestimmung der o-Phtaldialdehyd-Derivate von Noradrenalin, Dopamin und Normetanephrin aus dem Urin mit einem Aminosäureanalysator Quantitative determination of o-phthaldehyde derivatives of noradrenaline, dopamine and normetadrenaline in urine with an amino acid analyzer
		567

Paar, D. and Maruhn, D. Spectrometric determination of urokinase in urine after gel filtration, using the chromogenic substrate S-2444 Spektrometrische Bestimmung von Urokinase mit dem chromogenen Substrat S-2444 im Harn nach Gel-filtration	557	Schmitz-Huebner, U., Nachbar, J. and Asbeck, F. The determination of antithrombin III, α_2 -macroglobulin and α_2 -antiplasmin in plasma by laser nephelometry Die Bestimmung von Antithrombin III, α_2 -Makroglobulin und α_2 -Antiplasmin im Plasma mittels Laser-nephelometrie	221	Tel, R. M. and Berends, G. T. Incomplete hydrolysis of cholestryl esters during the enzymatic cholesterol determination as evidenced by aqueous cholestryl ester solutions: Comparison of six enzymatic procedures with the <i>Liebermann-Burchard</i> method Unvollständige Hydrolyse von Cholesterinestern bei der enzymatischen Cholesterinbestimmung in wässrigen Lösungen von Cholesterinestern: Vergleich von sechs enzymatischen Verfahren mit der <i>Liebermann-Burchard</i> -Methode	595		
Pott, G., Meyering, M., Voss, B., Karges, H. E. and Sieber, A. Rapid determination of fibronectin by laser nephelometry. Fibronectin concentrations in plasma in human diseases, I Schnelle Bestimmung von Fibronectin durch Lasernephelometrie; Fibronectinkonzentrationen im Plasma bei Erkrankungen des Menschen, 1. Mitteilung	893	Schön, F., Hackenberg, K., Paar, D. und Reinwein, D. Die Bestimmung von Progesteron im Harn mit der kompetitiven Protein-bindungsmethode Determination of progesterone in urine by a competitive protein binding method	355	van Thiel, Dagmar, Marschner, I., Wood, W. G., Habermann, J. und Scriba, P. C. Methodische Untersuchungen und Vergleich von 7 kommerziellen Kits zur radioimmunologischen Thyrotropin-Bestimmung aus dem getrockneten Blutstropfen Development of a radioimmunoassay for thyrotropin (TSH) in dried blood spots together with a comparison of 7 commercial kits	807		
Puukka, M., Puukka, Raija and Reunanen, M. A rapid and simple gas-liquid chromatographic determination of valproic acid (α -propylvaleric acid) in serum Schnelle und einfache gaschromatographische Bestimmung von Valproinsäure (α -Propylvaleriansäure) im Serum	497	Scholer, A., Pianezzi, A., von Rickenbach, R. und Vonderschmitt, D. J. Verbesserte Methode zur Bestimmung der Harnsäure auf dem SMAC® An improved method for the determination of uric acid on a SMAC® analyzer	363	Tomcsányi, A., Fekete, B., Schweiger, O. und Kertész, L. Unterschiede für Immunglobulin E im Serum, bestimmt mit kompetitiven bzw. Papier-Radioimmunosorbenttest: Beseitigung durch Vorbehandlung mit Polyethylenglycol Differences in the levels of serum immunoglobulin E determined by the competitive radio-immuno-sorbent and the paper-radio-immuno-sorbent methods: Removal of these differences by pre-treatment of sera with polyethylene glycol	145		
Sambasiva, J. and Rao, V. H. Urinary excretion of collagen metabolites in protein malnutrition Ausscheidung von Kollagen-Metaboliten im Harn bei Protein-Mangelernährung	287	Schramel, P., Wolf, A. und Klose, B.-J. Direktbestimmung von Aluminium in Serumproben mittels Inductively Coupled Plasma (ICP)-Emissions-spektralanalyse Determination of aluminium in blood-serum by Inductively Coupled Plasma (ICP)-Spectroscopy	591	Schwarz, S. Radioimmunoassay evaluation and quality control by use of a simple computer program for a low cost desk top calculator Auswertung und Qualitätskontrolle von Radioimmunoassays mit einem einfachen Programm für einen kostengünstigen Tischrechner	215	Unger, Th. and Struck, H. Hydrolysis of some cystine aminopeptidase and aminopeptidase substrates by human placental enzymes after isoelectric focusing Hydrolyse einiger Substrate für Cystinaminopeptidase und Aminopeptidase durch Enzyme aus der Placenta vom Menschen nach isoelektrischer Fokussierung	631
Reiber, H. Eine schnelle und einfache nephelometrische Bestimmungsmethode für Protein im Liquor cerebro-spinalis A rapid and simple nephelometric assay for total protein in cerebro-spinal fluid	123	Schwörer, Ina und Kaul, A. Tierexperimentelle Untersuchungen über die Elimination von inkorporiertem Blei unter biologischen Stresssituationen und Applikation von Na ₂ Ca-EDTA Elimination of lead from rats under biological stress, and application of Na ₂ Ca-EDTA	163	Staab, H. J., Anderer, F. A., Stumpf, E. und Fischer R. Die prognostische Bedeutung von zirkulierenden Immunkomplexen des Carcinoembryonalen Antigens (CEA) bei Patienten mit Adenokarzinomen des Gastrointestinaltraktes Prognostic value of circulating immune complexes of carcinoembryonic antigen (CEA) in patients with adenocarcinoma of the gastrointestinal tract	175	Verheesen, P. E., Brombacher, P. J., Cremer, H. M. H. G. und de Boer, R. Determination of low levels of bupivacaine (Marcaine®) in plasma during epidural analgesia Bestimmung von niedrigen Bupivacain (Marcain®)-Konzentrationen im Plasma während Epiduralanalgesie	351
van Rijn, H. J. M., Boer, P. and Klosse, J. A. The determination of acid phosphatase of prostatic origin with the automatic clinical analyzer (ACA, DuPont) Die Bestimmung der sauren Prostata-Phosphatase mit dem Automatic Clinical Analyzer (ACA, DuPont)	627	Staiger, Ch., de Vries, J. and Walter, E. A rapid and sensitive method for the determination of phenazone (antipyrine®) using gas-liquid-chromatography with nitrogen detection Eine einfache und empfindliche Methode für die Bestimmung von Phenazon (Antipyrin®) mittels Gas-Chromatographie mit Stickstoffdetektor	817	Wilhelm, A., Berge, P.-G. und Schriewer, H. Zur Aktivitätsbestimmung der Sialyltransferase im menschlichen Serum Analysis of sialyltransferase activity in human serum	271		
Schena, F. P., Manno, C., D'Agostino, R., Bruno, G., Cramarossa, F. and Bonomo, L. A kinetic test for the assay of the C1-esterase inhibitor Kinetischer Test für die Bestimmung des C1-Esterase-Inhibitors	17	Wisser, H., Knoll, E. und Schmid, G. Tageszeitliche Änderungen erhöhter Aktivitäten der sauren Phosphatase beim Prostatacarcinom Diurnal variation of the elevated acid phosphatase activity in cases of prostate carcinoma	297				
Schlebusch, H., Sorger, M., Munz, E., Kessler, A.-Ch. und Zwez, W. Glucosebestimmung in hämolysierten Blutproben Determination of glucose in hemolysed blood samples	885						

Wood, W. G., Bauer, M., Horn, K., Marschner, I., van Thiel, Dagmar, Wachter, Christine and Scriba, P. C. A second external quality control survey (EQCS) for serum triiodothyronine (T_3) and thyroxine (T_4) assays using the "Munich model" Ein zweiter Ringversuch für Triiodthyronin (T_3) und Thyroxin (T_4) im Serum	511	Wood, W. G., Butz, Rosemarie, Casaretto, Monika, Hehrmann, R., Jüppner, H., Marschner, I., Wachter, Christine, Zahn, H. and Hesch, R. D. Preliminary results on the use of an antiserum to human parathyroid in a homologous radioimmunoassay Erste Ergebnisse mit einem Antiserum gegen Parathyroid vom Menschen für einen homologen Radioimmunassay	789	Zazgornik, J., Kopsa, H., Schmidt, P., Pils, P., Balcke, P., Hysek, H. und Deutsch, E. Konzentration von α_1 -Antitrypsin im Serum dialysierter und nierentransplantierter Patienten α_1 -Antitrypsin level in serum of dialyzed and renal transplant patients	241
Wood, W. G., Bauer, M. Marschner, I. and Scriba, P. C. An external quality control survey (EQCS) for serum cortisol Externer Ringversuch für Cortisol im Serum	183	Zaugg, H. Thromboplastic activity of human arterial walls and its interaction with the plasmatic coagulation system Thromboplastin-Aktivität in humanen arteriellen Gefäßwänden und ihre Wirkung auf das plasmatische Gerinnungssystem	545	Zoppi, F., Peracino, A., Marcovina, S. and Fenili, D. Development and improvement of a commercial uric acid enzymatic determination kit on a centrifugal fast analyzer Entwicklung und Verbesserung eines kommerziellen Testbestecks zur enzymatischen Harnsäurebestimmung an einem Zentrifugalanalysator	59

Short communications/Kurzmitteilungen

Dick, W. Glucosebestimmung in Venen- und Kapillarblut mit der Glucose-dehydrogenase-Methode in einer neuen Hämolyseflüssigkeit am Auto Analyzer II A new hemolysing agent for the determination of blood glucose (venous and capillary) by the glucose dehydrogenase method in the Autoanalyzer II	255	Rastogi, S. C., Clausen, J., Melchior, J. C. and Dyggve, H. V. Abnormal serum α_2 -macroglobulin in Dyggve-Melchior-Clausen syndrome Abnormales α_2 -Makroglobulin im Serum bei Dyggve-Melchior-Clausen-Syndrom	67	Sutor, D. June and Wilkie, Lynette I. Measurement of free palmitic acid in human bile Bestimmung der freien Palmitinsäure in der Galle von Menschen	193
Nagel, Marianne and Schümann, H.-J. A sensitive method for determination of conjugated catecholamines in blood plasma Eine empfindliche Methode zur Bestimmung der konjugierten Katecholamine im Plasma	431	van der Sluijs Veer, G. Referenzwerte für die Lactatdehydrogenase im Serum im Kindesalter und in der Pubertät Reference values for lactate dehydrogenase in the serum during childhood and puberty	305	Uldall, A. Stable reagents and a suitable routine procedure for the cystinuria test Stabile Reagenzien und ein geeignetes Verfahren für den Test auf Cystinurie	303

Guest Editorial

Whitehead, T. P. Future strategies in clinical chemistry Zukünftige Strategien in der klinischen Chemie	453
---	-----

Editorial

Uhlenbruck, G. Lektine: Einführung, Entwicklungen und Aussichten Lectins: Introduction, trends and perspectives	373
---	-----

ECCLS Communication/ECCLS-Kommunikation

ECCLS European Committee for Clinical Laboratory Standards Revised Byelaws Revidierte Satzung (in Englisch)	637
--	-----

Abstracts/Autorenreferate

2nd Symposium on Lectine, December 14, 1979, Cologne 2. Lektin-Symposium am 14. Dezember 1979, Köln	375	Joint Congress of the Scandinavian and German Societies of Clinical Chemistry Gemeinsamer Kongreß der Skandinavischen und Deutschen Gesellschaften für Klinische Chemie	647
--	-----	--	-----

Workshop Conferences of the German Society for Clinical Chemistry
Kleinkonferenzen der Deutschen Gesellschaft für Klinische Chemie

Haeckel, R. Statistische Probleme beim Vergleich von klinisch-chemischen Analysen-Verfahren Bericht über die Kleinkonferenz der Deutschen Gesellschaft für Klinische Chemie am 28. und 29. Juni 1979 in Hannover Statistical problems in the comparison of methods of clinical chemical analysis Report on the workshop conference of the German Society for Clinical Chemistry held on June 28 and 29, 1979 in Hannover	Rao, G. S. and Breuer, H. UDP-Glucuronyltransferase Report of the workshop conference of the German Society for Clinical Chemistry held on September 27–28, 1977 in Schloß Auel UDP-Glucuronyltransferase Bericht über die Kleinkonferenz der Deutschen Gesellschaft für Klinische Chemie am 27. und 28. September 1977 in Schloß Auel	307	Wagener, C. und Breuer, H. Diagnostische Bedeutung von Tumormarkern in der Klinischen Chemie Bericht über die Kleinkonferenz der Deutschen Gesellschaft für Klinische Chemie vom 15.–17. November 1979 in Schloß Auel Diagnostic significance of tumour markers in clinical chemistry Report on the workshop conference of the German Society for Clinical Chemistry, held on November 15–17, 1979 in Schloß Auel	821
		433		

IFCC Sections

IFCC Section (1979) no. 3 Büttner, J., Borth, R., Boutwell, J. H. Broughton, P. M. G. and Bowyer, R. C. Approved recommendation (1978) on quality control in clinical chemistry Part 1: General principles and terminology 69 Part 2: Assessment of analytical methods for routine use 78	IFCC Section (1980) no. 1 Porter, C. J. and Curnow, D. H. (IFCC 1980/1) Provisional recommendation (1979) on a scheme for a two year post-graduate course in clinical chemistry 439	IFCC 1980/5 IFCC Document with a view to a Recommendation: Siggaard-Andersen, O., Durst, R. A. and Maas, A. H. J. Physico-chemical quantities and units in clinical chemistry with special emphasis on activities and acitivity coefficients 829
Bowers, G. N. Jr., Bergmeyer, H. U. Hørder, M. and Moss, D. W. IFCC Methods for the measurement of catalytic concentration of enzymes Part 1: General considerations concerning the determination of the catalytic concentration of an enzyme in the blood serum or plasma of man 89	Haeckel, R., Collombel, Ch., Geary, T. D., Mitchell, F. L., Nadeau, R. G. and Okuda, K. (IFCC 1980/2) Provisional guidelines (1979) for listing specifications of spectrometers in clinical chemistry 445	IFCC 1980/6 Büttner, J., Borth, R., Boutwell, J. H., Broughton, P. M. G. and Bowyer, R. C. Approved recommendation (1979) on quality control in clinical chemistry, Part 3. Calibration and control materials 855
Hobbs, J. R., Harboe, N., Alper, C., Johansson, B. G. and Peters, Th. Provisional recommendation (1978) on specification for human serum albumin standard 96	IFCC 1980/3 Bergmeyer, H. U. and Hørder, M. IFCC Methods for the measurement of catalytic concentration of enzymes, Part 3. IFCC method for alanine aminotransferase 521	IFCC 1980/7 Büttner, J., Borth, R., Boutwell, J. H., Broughton, P. M. and Bowyer, R. C. Approved recommendation (1979) on quality control in clinical chemistry, Part 6. Quality requirements from the point of view of health care 861
Hobbs, J. R., Harboe, N., Alper, C. and Johansson, B. G. The human serum standard IFCC 74/1 99	IFCC 1980/4 Büttner, J., Borth, R., Broughton, P. M. G. and Bowyer, R. C. Quality control in clinical chemistry, Part 4. Internal quality control 535	IFCC 1980/8 IFCC Document with a view to a Recommendation Okuda, K. Provisional guidelines (1980) for listing specifications of clinical chemical analysers 947

Honours/Ehrungen

Honorarprofessur für W. Bürgi (Aarau) Honorary Professorship for W. Bürgi (Aarau)	437	Verleihung der Scherer-Medaille an Hansjürgen Staudinger Presentation of Scherer Medal to Hansjürgen Staudinger	929
Senior Award der National Academy of Clinical Biochemistry für J. Büttner Senior Award of the National Academy of Clinical Biochemistry for J. Büttner	635	Acknowledgement Danksagung	954

Errata

In the section Terminology (p. 75) of IFCC Section (1979) no 3, Approved Recommendation (1978) on Quality Control in Clinical Chemistry, Part I – General Principles and Terminology, this J. 18, 69–77 (1980), the paragraph *Method, definitive* should read:
Method, definitive. A method, which after exhaustive investigation is found to have no known source of inaccuracy or ambiguity.

In the paper by Heinemann, G., Löschenkohl, K. and Schievelbein, H., this J., 17, 647–651 (1979) the last sentence of the paragraph “Preparation of HbCO-containing blood samples” should read: “However, it should be borne in mind that it is difficult to obtain nominal values by mixing parts of O₂- and CO-saturated blood, because HbO₂ is changed to HbCO by physically dissolved carbon monoxide (2).”

In the abstract 4.15 by Blossey, H.-Ch. et al., this J. 18, 729–730 (1980) the heading of the third block of table 1 should read:
“Cold” MPA after
[³H]DES [³H]R 5020 [³H]R 1881

Book reviews/Buchbesprechungen

Adrian, R. H. et al. Reviews of Physiology, Biochemistry and Pharmacology	594	Dargel, R. und Graf, W. Lehrprogramme der funktionellen Biochemie, Bd. 3, 4 und 5	450	Marx, R. und Thies, H. A. Niere, Blutgerinnung und Hämostase. XXI. Hamburger Symposium über Blutgerinnung	450
Arber, W. et al. Current Topics in Microbiology and Immunology, vol. 78	104	Doss, M. Diagnosis and Therapy of Porphyrias and Lead Intoxication	104	Matthies, D. Biochemische Formelsammlung	196
Auer, L. M. The Pathogenesis of Hypertensive Encephalopathy	542	Dünges, W. Prächromatographische Mikromethoden	761	Natelson, S., Pesce, A. J. and Dietz, A. A. Clinical Immunochemistry. Chemical and Cellular Bases and Applications in Disease	543
Bessis, M., Shohet, S. B. and Mohandas, N. Red Cell Rheology	196	Ebel, S. Synthetische Arzneimittel	451	Pungor, E. Coulometric Analysis	761
Beyermann, K. Chemie für Mediziner, 4. Aufl.	196	Eisenberg, S. Progress in Biochemical Pharmacology, vol. 15. Lipoprotein Metabolism	195	Schwieck, H. Handbuch der inneren Medizin. II/6 Blut und Blut und Blutkrankheiten, 5. Aufl.	594
Blauer, G. und Sund, H. Transport by Proteins	544	Fishbein, L. Potential Industrial Carcinogens and Mutagens	542	Short, R. V. British Medical Bulletin, vol. 35, No. 2. Reproduction	761
Bloemendaal, H. Journal “Molecular Biology Reports”. Special EMBO Issue on RNA and RNP. Vol. 5, No. 1/2	543	Fründter, H. Effects and Metabolism of Insulin and Cyclic Nucleotides	761	Svejgaard, A. et al. Monographs in Human Genetics. The HLA System – An Introductory Survey, 2nd Edition	543
Breddin, H. K. Prostaglandine und Plättchenfunktion – Methoden zur Erfassung einer gesteigerten Plättchenfunktion. Chromogene Substrate im Gerinnungslaboratorium	195	Haschen, R. und Scheuch, D. Abriss der Pathologischen Biochemie	542	Thielmann, K., Himmler, V., Köhler, W. und Stein, J. Wörterbuch der Biochemie. Deutsch–Englisch–Französisch–Russisch–Spanisch	451
Brock, T. D. Thermophilic Microorganisms and Life at High Temperatures	452	Kelley, W. N. and Weiner, I. M. Uric Acid. Handbook of Experimental Pharmacology, vol. 51	594	Vahlensieck, W. und Gasser, G. Pathogenese und Klinik der Harnsteine VI	451
Brück, K. et al. Examens-Fragen Physiologie, 4. Aufl.	452	Labhart, A. Klinik der inneren Sekretion, 3. Aufl.	544	Young, Donald S., Uddin, D., Nipper, H., Hicks, J. and King, J. Stanton Clinician and Chemist, The Relationship of the Laboratory to the Physician, Proceedings of the First Arnold O. Beckmann Conference in Clinical Chemistry	195
Daldrup, T. Postmortaler Eiweißzerfall in menschlichen Organen. Reaktionen und zeitliche Zusammenhänge	543	Lindauer, M., Nydegger, U. E., Matern, S. und Gerok, W. Reviews of Physiology, Biochemistry and Pharmacology, vol. 85	544	Allinger, N. L., Cava, M. P., de Jongh, D. C., Johnson, C. R., Lebel, N. A. und Stevens, C. L. Organische Chemie. Übersetzt und bearbeitet von H. Gnichtel, F. Klages, G. Koßmehl, H. Kurreck und G. Mancke	952

Buchhinweise/Book indications

Adrian, R. H., Helmreich, E., Holzer, H., Jung, R., Krayer, O., Linden, R. J., Lyinen, F., Miescher, P. A., Piper, J., Rasmussen, H., Renold, A. E., Trendelenburg, U., Ullrich, K., Vogt, W. and Weber, A. – Eds.
Reviews of Physiology, Biochemistry and Pharmacology, vol. 87 953

Ahnefeld, F. W., Bergmann, H., Burri, C., Dick, W., Halmágyi, M., Hossli, G. und Rügheimer, E. – Hrsg.
Klinische Anästhesiologie und Intensivtherapie Band 21. Therapie mit Blutkomponenten 952

Batschelet, E. Einführung in die Mathematik für Biologen. Übersetzt aus dem Englischen	953	Clemmesen, J., Conning, D. M., Henschler, D. and Oesch, F. – Eds. Archives of Toxicology/Supplement 3. Quantitative Aspects of Risk Assessment in Chemical Carcinogenesis. Symposium held in Rome, Italy, April 3–6, 1979	953	Norpoth, K. H. and Garner, R. C. – Eds. Short-Term Mutagenicity Test. Systems for Detecting Carcinogens	953
Brandenburg, D. and Wollmer, A. – Eds. Insulin. Chemistry, Structure and Function of Insulin and Related Hormones. Proceedings of the Second International Insulin Symposium Aachen, Germany, September 4–7, 1979	952	Kleine, T. O. – Hrsg. Neue Labormethoden für die Liquordiagnostik	952	Pette, D. – Ed. Plasticity of Muscle, Proceedings of a Symposium held at the University of Konstanz, September 23–28, 1979	952
Buddecke, E. Grundriß der Biochemie. Für Studierende der Medizin, Zahnmedizin und Naturwissenschaften	952	Mross, K. B. Zellelektrophorese in der Tumordiagnostik: EM-Test. Grundlagen, Material, Methoden, Ergebnisse	953	Rothmund, M. – Hrsg. Hyperparathyreoidismus	952
Buddrus, J. Grundlagen der Organischen Chemie	952	Noack, S. Statistische Auswertung von Meß- und Versuchsdaten mit Taschenrechner und Tischcomputer. Anleitungen und Beispiele aus dem Laborbereich	953	Sauer, H. W. Entwicklungsbiologie. Ansätze zu einer Synthese. Hochschultext	953
				von Voss, H. und Göbel, U. – Hrsg. Praktische Anwendung der Thrombozytenfunktionsdiagnostik. 2. Symposium „Gerinnungsstörungen im Kindesalter“ Schloß Heiligenhofen, Lindlar, 1979	953

GENERAL INDEX/GESAMTREGISTER

Authors' Index/Autorenregister

Aaseth, J. s. Alexander, J.	713	Bald, E.	728	Berg, A. s. Köttgen, E.	752	Blum, K. s. Hoffmann, G. E.	129
Abel-Telkes, B. s. Endler, A. T.	753	Barbe, J. s. Milano, G.	157	Bergdahl, B. s. Lindwall, L.	879	Bock, K. D. s. Maruhn, D.	686
Abuknesha, R. A.	662	Bartmann, P.	1	Berge, P.-G. s. Wilhelm, A.	271	Boer, P. s. Rijn, H. J. M. van	627
Adlercreutz, H.	661, 695	Bartsch, H.-H. s. Blossey,	H.-Ch. 729	Bergmeyer, H. U.	521	Boer, R. de s. Verheesen, P. E.	351
Adolf, P. K. s. Leitz, V. M.	718	Bartsch, W.	730	Bergström, K.	659	Bohner, J. s. Stein, W.	677
Afting, E. G. s. Roethig, H.-J.	756	Bauer, Ch.	670	Bergström, K. s. Egberg, N.	709	Bojar, H.	725
Agarwal, D. P. s. Meier-Tack-		Bauer, H. J. s. Schipper, H. I.	717	Bernhardt, W. s. Kauerz, U.	745	Bojar, H. s. Staib, W.	726
mann, Doris	699	Bauer, K.	677	Bernhardt, W. s. Roethig, H.-J.	756	Bojar, H. s. Stuhldreier, B.	724
Agarwal, D. P. s. Strohmeyer,		Bauer, M. s. Wood, W. G.	183, 511	Bethge, N.	734	Bombelli, F. s. Agostoni, A.	771
T.	672	Baumann, K. s. Kochmann, G.	685	Bianchi, M. s. Agostoni, A.	771	Bomhard, E. s. Maruhn, D.	686
D'Agostino, R. s. Schena,		Baumgarten, S. s. Schönes-		Birath, K.	680	Bonomo, L. s. Schena, F. P.	17
F. P.	17	höfer, M.	731	Birath, K. s. Skude, G.	680	Boos, K. S. s. Schlimme, E.	696
Agostoni, A.	771	Bayer, P. M.	678	Biro, G. s. Leicht, E.	739	Borner, K.	719
Aigner, P.	690	Beck, K. s. Staib, W.	726	Bjømaes, H. s. Nordby, H. K.	668	Borst, A. s. Naus, A. J.	621
Alexander, J.	713	Beckermann, W. J. s. Stroh-		Blaabjerg, O. s. Hyltoft		Borth, R. s. Büttner, J.	
Anderer, F. A. s. Staab,		meyer, T.	672	Petersen, P.	744	535, 855, 861	
H. J.	175	Behbehani, A. s. Langenbeck,	U.	Bleyl, H.	710	Bosak, J.	413
Arenz, F. s. Lang, C.	551	755		Bleyl, H. s. Hüting, J.	681	Boublil, J. L. s. Milano, G.	157
Arnst, E. s. Koch, C.-D.	423	Belfield, A. s. Pledger, D. R.	701	Blijenberg, B. G.	27	Boutwell, J. H. s. Büttner, J.	
Arvidsson, E. s. Koch, G.	367	Belkien, L. s. Jaster, H. J.	742	Blijenberg, B. G. s. Lanser, A.	327	855, 861	
Asbeck, F. s. Schmitz-Huebner,		Bell, P. A.	655	Blombäck, M. s. Wahlberg, R.	744	Bowyer, R. C. s. Büttner, J.	
U.	221	Bencze, K.	13	Benes, P.	117	535, 855, 861	
Asmuth, Ch. s. Fischer, J. H.	747	Bellobuono, A. s. Idéo, G.	237	Berends, G. T. s. Tel, R. M.	595	Brandislund, I. s. Klitgaard,	
Averdunk, R.	710	Beretta, L. s. Agostoni, A.	771	595	N. A.	720	
Baack, G.	726	Berg, A.	707	Berg, H. E.	679	Breidenbach, B. s. Tarkkanen,	
Bachmann, C.	293					P.	712
Backs, C. s. Weisweiler, P.						Brendel, W. s. Bartmann, P. I	
707							
Balcke, P. s. Zazgornik, J.							
241							

- Breuer, H. 659, 937
 Breuer, H. s. Kaulhausen, H. 137
 Breuer, H. s. Nocke-Finck, L. 897
 Breuer, H. s. Rao, G. S. 307
 Breuer, H. s. Wagener, C. 821
 Brombacher, P. J. s. Verheesen, P. N. 351
 Broughton, P. M. G. s. Büttner, J. 535, 855, 861
 Bruchelt, G. 715
 Bruckner, A. 275
 Bruno, G. s. Schena, F. P. 17
 Büttner, J. 535, 855, 861
 Büttner, J. s. Riedel, H. 749
 Buss, H. s. Oemar, B. S. 381
 Butte, W. 740
 Butz, R. s. Wood, W. G. 789
 Cambon, P. s. Milano, G. 157
 Casaretto, M. s. Wood, W. G. 789
 Chmiel, J. 672
 Clausen, J. s. Rastogi, S. C. 67
 Collet-Cassard, D. s. Holy, H. W. 701
 Collombel, Ch. s. Haeckel, R. 445
 Colombo, J. P. s. Bachmann, C. 293
 Coper, H. s. Honecker, H. 133
 Cramarossa, F. s. Schena, F. P. 17
 Cremer, P. s. Wieland, H. 749
 Cremers, H. M. H. G. s. Verheesen, P. N. 351
 Culmann, W. 671
 Culmann, W. s. Dick, W. 709
 Curnow, D. H. s. Porter, C. J. 439
 Czernik, A. s. Kleesiek, K. 867
 Dabek, J. 665
 Dahlmann, N. 682
 Damm, D. s. Hajdú, P. 209
 Deeg, R. 49
 Delogne-Desnoeck, J. s. Jungers, J. 734
 Denicke, C. s. Dulce, H. J. 741
 Deus, B. 692
 Deus, B. s. Berg, A. 707
 Deus, B. s. Blum, H. E. 679
 Deutsch, E. s. Zazgornik, J. 241
 Dick, W. 255, 798
 Dick, W. s. Cullmann, W. 671
 Dieckvoß, E. s. Harm, K. 694
 Diederichs, F. 674
 Diederichs, F. s. Friedel, R. 666
 Diederichs, F. s. Mühlhaus, K. 674
 Diehl, V. s. Oellerich, M. 169
 Diel, F. s. Bethge, N. 734
 Diener, U. 687
 Diener, U. s. Ratge, D. 735
 Dietel, M. 739
 Dmowska, B. s. Sawicki, Z. 694
 Dobler, T. s. Heimsch, E. 775
 Dodson, P. M. 751
 Dodson, P. s. Stocks, J. 753
 Dörken, B. s. Ebert, W. 716
 Dörner, K. 713
 Dorda, W. s. Müller, M. M. 737
 Dorn, G. s. Dietel, M. 739
 Dorn-Quint, G. 664
 Drosner, M. 750
 Drost, H. s. Nagamura, Y. 672
 Drygas, J. 751
 Dubowitz, V. s. Moss, D. W. 675
 Dukwicz, A. s. Sawicke, Z. 694
 Dulce, H. J. 741
 Durst, R. A. s. Siggaard-Andersen, O. 829
 Dyggeve, H. V. s. Rastogi, S. C. 67
 Eberhard, A. s. Kleesiek, K. 867
 Eberl, H. 257
 Ebert, W. 716
 Egberg, N. 709
 Egberg, N. s. Wahlberg, R. 744
 Eggstein, M. s. Jakober, B. 708
 Eggstein, M. s. Müller, P. H. 708
 Ehlers, C. Th. s. Luthe, H. 693
 Eijk, H. G. van 593
 Endler, A. T. 753
 Engelbrecht, S. s. Wenzel, H. R. 699
 Engelhardt, P. s. Oellerich, M. 169
 Ernst, M. 705
 Ernst, M. s. Möller, H. 714
 Exley, D. s. Abuknesha, R. A. 662
 Fabricius, H. Å. 716
 Fabricius, H. Å. s. Köttgen, E. 752
 Fähndrich, C. s. Honecker, H. 133
 Farrar, G. 376
 Fekete, B. s. Tomcsányi, A. 145
 Feldt-Rasmussen, U. s. Hyltoft Petersen, P. 744
 Fenili, D. s. Zoppi, F. 59
 Fenner, A. s. Dulce, H. J. 741
 Fenner, A. s. Schönshöfer, M. 731
 Fenninger, H. s. Gibitz, H. J. 721
 Fenske, M. 687
 Férand, G. 39
 Fiederer, B. s. Moeller, H. 726
 Fink, E. s. Mann, K. 395
 Fink, P. C. 717
 Fischer, J. H. 747
 Fischer, R. s. Staab, H. J. 175
 Fitzgerald, D. E. s. Leitz, V. M. 718
 Fogh-Andersen, N. 675
 Frey, H. O. 722
 Fricke, U. s. Newmann, R. A. 31
 Friedel, R. 666
 Friedel, R. s. Lindena, J. 649
 Fritz, H. s. Jochum, Marianne 671
 Fuhs, M. s. Fischer, J. H. 747
 Fujita, K. s. Teradaira, R. 698
 Gabl, F. s. Bauer, K. 677
 Gabl, F. s. Endler, A. T. 753
 Gaertner, H. J. 579
 Gärtnert, R. 571
 Galton, D. J. s. Dodson, P. M. 751
 Galton, D. s. Stocks, J. 753
 Gatschke, W. 403
 Gawlik, D. s. Gatschke, W. 403
 Geary, T. D. s. Haeckel, R. 445
 Geiger, R. s. Mann, K. 395
 Geiseler, D. s. Jakober, B. 708
 Geseler, D. s. Müller, P. H. 708
 Gerbitz, K.-D. 313
 Gerli, G. C. s. Agostoni, A. 771
 Gerok, W. s. Bauer, Ch. 670
 Gersonde, K. s. Sick, H. 689
 Geyer, H. s. Baack, G. 726
 Gibitz, H. J. 721
 Gilboa-Garber, N. 376
 Gilch, R. s. Mann, K. 733
 Girndt, G. s. Fenske, M. 687
 Glöckner, W. M. 377
 Goedde, H. W. s. Meier-Tackmann, D. 699
 Goedde, H. W. s. Strohmeyer, T. 672
 Goedde, H. W. s. Meier-Tackmann, D. 754
 Göring, W. s. Mann, K. 395
 Goerz, G. s. Stuhldreier, B. 724
 Götz, M. A. s. Hannak, D. 735
 Gollwitzer, Rotraud s. Wood, W. G. 711
 Gorecka, A. s. Sawicki, Z. 694
 Gorka, G. 697
 Graf, H. 686
 Graf, H. s. Kovárik, J. 747
 Graf, H.-P. s. Trendelenburg, Chr. 732
 Greiling, H. s. Gressner, A. M. 279
 Gressner, A. M. 111, 279, 684, 797, 921
 Gressner, A. M. s. Wallraff, P. 702
 Gripenberg, J. s. Jansson, S.-E. 648
 Grönroos, P. s. Koivula, T. 686
 Groome, N. P. 345
 Grospeitsch, G. s. Fenske, M. 687
 Großmann, M. s. Klingler, W. 700
 Grouls, P. s. Gressner, A. M. 684
 Gruber, W. s. Markowetz, D. 679
 Grüner, J. s. Averdunk, R. 710
 Günther, T. s. Ebel, H. 257
 Gürtler, L. G. 377
 Gundlach, G. 603, 682
 Gundlach, G. s. Hüting, J. 681
 Gupta, D. s. Moeller, H. 726
 Gustafsson, J.-A. 654
 Gyr, K. s. Lang, C. 551
 Habermann, J. s. Thiel, D. van 807
 Hackenberg, K. s. Schön, F. 355
 Hadjidakis, A. s. Ratge, D. 735
 Haeckel, R. 385, 433, 445, 455, 693
 Haeckel, R. s. Heinz, F. 781
 Haeckel, R. s. Riedel, H. 749
 Hällström, O. s. Koivula, T. 686
 Härkönen, M. s. Adlercreutz, H. 661
 Hagemeyer, E. s. Schlimme, E. 696
 Haidl, P. s. Mann, K. 733
 Haindl, H. s. Oellerich, M. 718
 Hajdú, P. 209
 Halket, J. M. 731
 Hammerl, B. s. Mann, K. 733
 Hamperl, W. s. Jochum, M. 671
 Hannak, D. 735
 Hansen, I. s. Hørðer, M. 679
 Hansen, S. I. s. Holm, J. 716
 Hansen, S. I. s. Lyngbye, J. 715
 Hansert, E. 461
 Harada, S. s. Meier-Tackmann, D. 699
 Harders, H. D. 743
 Harm, K. 694
 Harm, K. s. Klapdor, R. 676
 Harm, K. s. Rehpennung, W. 743
 Harmoinen, A. 702
 Harmoinen, A. s. Koivula, T. 686
 Harmoinen, A. s. Perko, M. 701
 Hartmann, F. s. Butte, W. 740
 Hartmann, H. G. s. Maruhn, D. 686
 Hartter, P. s. Krupka, U. 723
 Hartter, P. s. Martin, W. 723
 Hayakawa, S. s. Ikeda, M. 407
 Heck, H. s. Hollmann, W. 652
 Heckmatt, J. s. Moss, D. W. 675
 Hergermann-Nielsen, G. s. Klitgaard, N. A. 720
 Hehrmann, R. s. Wood, W. G. 789
 Heiden, W. C. H. van 333
 Heienbrok, W. s. Klapdor, R. 676
 Heikkinen, H. s. Penttilä, I. M. 732
 Heimes, J. s. Jäckel, W. 909
 Heimsch, E. 775
 Heinrichs, S. s. Gressner, A. M. 684
 Heinz, F. 781
 Helenius, T. s. Liewendahl, K. 737
 Helger, R. s. Harders, H. D. 743
 Helger, R. s. Vormbrock, R. 698
 Hell, B. s. Dulce, H. J. 741
 Hellmann, T. s. Mann, K. 733
 Henkel, E. 702
 Henkel, E. s. Wrabetz-Wölke, A. 703
 Henny, J. s. Hubsch, G. 149
 Herchenhan, E. s. Blum, H. E. 679
 Herndl, R. s. Marschner, I. 105
 Herrmann, J. s. Jäckel, W. 909
 Hesch, R. D. s. Jüppner, H. 585
 Hesch, R. D. s. Wood, W. G. 789
 Heul, C. van der s. Eijk, H. G. van 563
 Heyes, H. s. Musch, K. 749
 Hilz, H. 656
 Hinghofer-Szalkay, H. 615
 Hinghofer-Szalkay, H. s. Moser, M. 233

- Höfer, R. s. Müller, M. M. 737
 Hörder, M. 679
 Hörder, M. s. Bergmeyer, H. U. 521
 Hörder, M. s. Hyltoft Petersen, P. 744
 Hoffmann, G. E. 129
 Holbolth, N. s. Rosleff, F. 755
 Holdsworth, G. s. Dodson, P. M. 751
 Holdsworth, G. s. Stocks, J. 753
 Hollmann, W. 652
 Hollweg, H. G. s. Oemar, B. S. 381
 Holm, J. 716
 Holm, J. s. Lyngbye, J. 715
 Holmberg, H. 681
 Holy, H. W. 701
 Holz, J. s. Bethge, N. 734
 Holzer, H. s. Moser, M. 233
 Holzmann, H. s. Benes, P. 117
 Homolka, J. 755
 Honecker, H. 133
 Hoo, J. J. s. Strohmeyer, T. 672
 Hoppen, H. O. 729
 Horn, K. s. Gärtner, R. 571
 Horn, K. s. Wood, W. G. 511
 Hornig, D. s. Bruchelt, G. 715
 Hotschek, H. s. Bayer, P. M. 678
 Houot, O. s. Hubsch, G. 149
 Howard Grøn, I. 746
 Hubsch, G. 149
 Hülemann, K. s. Weisweiler, P. 707
 Hüting, J. 681
 Huseby, N.-E. 673
 Huttunen, J. K. 652
 Hyanek, J. s. Homolka, J. 755
 Hyltoft Petersen, P. 744
 Hyltoft Petersen, P. s. Hörder, M. 679
 Hyltoft Petersen, P. s. Rosleff, F. 755
 Hysek, H. s. Zazgornik, J. 241
 Ideo, G. 237
 Ignatowicz, E. s. Chmiel, J. 672
 Ikeda, M. 407
 Ikkala, E. s. Rasi, V. 656
 Jäckel, W. 909
 Jänne, O. s. Jokela, H. 678
 Jakober, B. 708
 Jakober, B. s. Müller, P. H. 708
 Janetschek, P. s. Weisweiler, P. 707
 Janssen, E. s. Kania, J. 378
 Jansson, S.-E. 648
 Jaster, H. J. 742
 Jochum, M. 671
 Johansson, U. s. Koch, G. 367
 Jokela, H. 678
 Jokela, H. s. Harmoinen, A. 702
 Jokela, H. s. Perko, M. 701
 Jonat, W. 727
 Jüppner, H. 585
 Jüppner, H. s. Wood, W. G. 789
 Jungblut, P. W. 653
 Jungers, J. 734
 Källberg, M. 491
 Kärkkäinen, P. 691
 Kage, A. 740
 Kahn, S. N. 23
 Kalbfleisch, U. s. Bald, E. 728
 Kalden, J. R. s. Heinz, F. 781
 Kamarýt, J. 611
 Kania, J. 378
 Karduck, D. s. Gilboa-Garger, N. 376
 Karges, H. E. s. Pott, G. 893
 Karl, H.-J. s. Mann, K. 395, 733
 Karonen, S.-L. s. Adlercreutz, H. 661
 Kattermann, R. s. Frey, H. O. 722
 Kattermann, R. s. Hannak, D. 735
 Kattermann, R. s. Sirowej, H. 752
 Kauerz, U. 745
 Kaul, A. s. Schworer, I. 163
 Kaulhausen, H. 137
 Keipert, B. s. Mann, K. 395
 Keller, H. s. Haeckel, R. 693
 Kenner, Th. s. Moser, M. 233
 Kertész, L. s. Tomcsányi, A. 145
 Kessler, A.-Ch. s. Schlebusch, H. 885
 Keul, J. s. Berg, A. 707
 Kewenig, M. s. Gärtner, R. 571
 Khan, R. A. s. Kahn, S. N. 23
 Kiss, P. s. Sirowej, H. 752
 Klapdor, R. 676
 Kleesiek, K. 867
 Klein, P. J. 378
 Klein, P. J. s. Farrar, G. 376
 Klein, P. J. s. Kania, J. 378
 Klein, P. J. s. Müller, W. 380
 Klein, P. J. s. Vierbuchen, M. 384
 Klein, P. J. s. Newman, R. A. 31
 Kleine, T. O. 7, 245
 Klingler, W. 700
 Klitgaard, N. A. 720
 Klötzl, G. 725
 Klose, B.-J. s. Schramel, P. 591
 Klosse, J. A. s. Rijn, H. J. M. van 627
 Klumpp, T. s. Férand, G. 39
 Knedel, M. s. Haeckel, R. 693
 Knoll, E. 53
 Knoll, E. s. Bosak, J. 413
 Knoll, E. s. Diener, U. 687
 Knoll, E. s. Ratge, D. 835
 Knoll, E. s. Wisser, H. 297
 Knot, E. s. Bayer, P. M. 678
 Koch, C.-D. 423
 Koch, G. 367
 Kochmann, G. 685
 Kochmann, R. s. Kochmann, G. 685
 Koeberling, J. s. Blossey, H.-Ch. 729
 Koester-Eiserfunke, W. s. Gressner, A. M. 279, 684
 Köttgen, E. 379, 752
 Köttgen, E. s. Bauer, Ch. 670
 Köttgen, E. s. Fabricius, H. Å. 716
 Koivula, T. 686
 Koivula, T. s. Harmoinen, A. 702
 Koivula, T. s. Jokela, H. 678
 Kolb, H. s. Nagamura, Y. 672
 Kopsa, H. s. Zazgornik, J. 241
 Kornmüller, K. 711
 Korte, T. 721
 Kothaus, G. s. Nagamura, Y. 672
 Kovarik, J. 747
 Krahenmann, J. A. s. Lang, C. 551
 Kraemer, W. s. Deeg, R. 49
 Kraft, D. s. Gatschke, W. 403
 Krais, J. s. Stein, W. 677
 Krauth-Siegel, L. 724
 Krawczyński, J. s. Sawicki, Z. 694
 Krieg, M. s. Klötzl, G. 725
 Kroos, M. J. s. Eijk, H. G. van 563
 Krupka, U. 723
 Kruse-Jarres, J. D. s. Trendelenburg, Chr. 732
 Kühn, H. s. Luthe, H. 693
 Külpmann, W. R. 227, 339, 720
 Kuhn, W. s. Fenske, M. 687
 Kump, B. s. Bojar, H. 725
 Kuoppasalmi, K. 653
 Kuppens, P. S. s. Naus, A. J. 621
 Kuss, H. J. s. Gaertner, H. J. 579
 Kuzmits, R. 745
 Kuzmits, R. s. Aigner, P. 690
 Lafosse, M. s. Kaulhausen, H. 137
 Lalanne, C. M. s. Milano, G. 157
 Lalla, M. 688
 Lang, C. 551
 Lang, H. s. Aigner, P. 690
 Lang, W. s. Wolf, H. U. 689
 Lange, H. s. Luthe, H. 693
 Langenbeck, U. 755
 Langer, B. s. Diener, U. 687
 Lansen, A. 327
 Lantta, M. s. Stenman, U.-H. 727
 Latipää, P. s. Jokela, H. 678
 Lauritzen, Ch. s. Müller-Oesterle, R. 748
 Lauritzen, Ch. s. Wolf, A. S. 747
 Lehtinen, Inkeri s. Puukka, M. 692
 Leicht, E. 739
 Leijinse, B. s. Blijenberg, B. G. 27
 Leijinse, B. s. Lansen, A. 327
 Leitz, V. M. 718
 Lemm, U. s. Wenzel, M. 684
 Leskinen, E. s. Holmberg, H. 681
 Leur, E. Van de s. Gressner, A. M. 279
 Lewis, S. M. 649
 Liesen, H. s. Hollmann, W. 652
 Liewendahl, K. 737
 Linde, H. s. Deus, B. 692
 Lindena, J. 649
 Lindholm, A.-M. s. Adlerdreutz, H. 661
 Lindwall, L. 879
 Linkesch, W. s. Kovarik, J. 747
 Lipp, W. s. Mann, K. 395
 Lode, H. s. Borner, K. 719
 Lorentz, K. 379, 682
 Lørke, D. s. Maruhn, D. 686
 Lück, H. J. s. Hoppen, H. O. 729
 Lüllig, H. s. Ebert, W. 716
 Luthe, H. 693
 Luthe, H. s. Langenbeck, U. 755
 Luttermann, E. s. Gundlach, G. 682
 Lyngbye, J. 715
 Lyngbye, J. s. Holm, J. 716
 Maas, A. H. J. s. Siggaard-Andersen, O. 829
 Maass, H. s. Jonat, W. 727
 Mach, M. s. Tomaszewski, J. J. 750
 Mader, A. s. Hollmann, W. 652
 Magdziarz, A. s. Palynyczko, Z. 676
 Magid, E. 669
 Magnusson, C. G. s. Holy, H. W. 701
 Mann, K. 395, 733
 Manno, C. s. Schena, F. P. 17
 Marcovina, S. s. Zoppi, F. 59
 Markowitz, D. 679
 Marschner, I. 105, 660
 Marschner, I. s. Thiel, D. van 807
 Marschner, I. s. Wood, W. G. 183, 511, 789
 Martin, W. 723
 Maruhn, D. 686
 Maruhn, D. s. Paar, D. 557
 Maruta, K. s. Teradaira, R. 698
 Masson, P. S. s. Holy, H. W. 701
 Matýsek, P. s. Kamarýt, J. 611
 McGeehey, F. 673
 Meier-Tackmann, D. 699
 Melchior, J. C. s. Rastogi, S. C. 67
 Merk, H. s. Stuhldreier, B. 724
 Merten, B. s. Kleinc, T. O. 245
 Métais, P. s. Férand, G. 39
 Mette, H. s. Klingler, W. 700
 Mettinger, K. L. s. Wahlberg, R. 744
 Metzger, G. s. Férand, G. 39
 Meulen, N. van der s. Bald, E. 728
 Meyering, M. s. Pott, G. 893
 Michaelis, H. C. s. Thomas, L. 697
 Milano, G. 157
 Mitchell, F. L. s. Haeckel, R. 445
 Miyato, M. s. Fischer, J. H. 747
 Moeller, H. 726
 Möller, H. 714
 Mohr, H. s. Jüppner, H. 585
 Molin, L. s. Lindwall, L. 879
 Molnar, I. s. Schönshöfer, M. 731
 Mordasini, R. C. 917
 Morsches, B. s. Benes, P. 117
 Moser, M. 233
 Moss, D. W. 675
 Mühlhaus, K. 674
 Mühlhaus, K. s. Diederichs, F. 674
 Mühlhaus, K. s. Friedel, R. 666

- Mühlhausen, B. s. Gundlach, G. 603
 Müller, M. s. Stein, W. 677
 Müller, M. J. 738
 Müller, M. M. 737
 Müller, M. M. s. Aigner, P. 690
 Müller, M. M. s. Graf, H. 686
 Müller, M. M. s. Kuzmits, R. 745
 Müller, N. s. Dick, W. 709
 Müller, P. H. 708
 Müller, P. H. s. Jakober, B. 708
 Müller, W. 380
 Mössner, W. s. Köttgen, E. 379
 Müller, W. E. G. 380
 Müller, W. E. G. s. Vaith, P. 383
 Müller-Matthesius, R. 501
 Müller-Oesterle, R. 748
 Müller-Plathe, O. 690
 Munz, E. s. Markowetz, D. 679
 Munz, E. s. Schlebusch, H. 885
 Musch, K. 749
 Musch, K. s. Müller-Oesterle, R. 748
 Musch, K. s. Wolf, A. S. 747
 Myllylä, G. s. Rasi, V. 656
- Nachbar, J. s. Schmitz-Huebner, U. 221
 Nadeau, R. G. s. Haeckel, R. 445
 Näveri, H. s. Kuoppasalmi, 653
 Nagamura, Y. 672
 Nagatsu, T. s. Teradaira, R. 698
 Nage, H.-H. s. Harm, K. 694
 Nagel, M. 431
 Nakamura, M. s. Teradeira, R. 698
 Nanba, N. s. Ikeda, M. 407
 Naus, A. J. 621
 Newmann, R. A. 31
 Nicolai, H. von 381
- Nocke, Finck, L. 897
 Noort, W. L. van s. Eijk, H. G. van 563
 Nordby, H. K. 668
- Oellerich, M. 169, 197, 718
 Oellerich, M. s. Külpmann, W. R. 720
 Oemar, B. S. 381
 Oettling, G. s. Moeller, H. 726
 Ohmori, S. s. Ikeda, M. 407
 Okuda, K. 947
 Okuda, K. s. Haecke., R. 445
 Oldendörp, J. 901
 Olek, K. 567
 Olesen, E. s. Winkel, P. 648
 Opper, C. s. Müller-Matthesius, R. 501
 Osburg, K. s. Drygas, J. 751
 Oster, O. 714
 Overkamp, D. s. Müller, P. H. 708
- Paar, D. 557
 Paar, D. s. Maruhn, 686
 Paar, D. s. Schön, F. 355
 Pai, E. F. s. Krauth-Siegel, L. 724
 Palynyczko, Z. 676
- Pape, W. s. Kochmann, G. 685
 Parmar, C. s. Moss, D. W. 675
 Patscheke, H. 708
 Pabelka, R. s. Kovarik, J. 747
 Penttilä, A. s. Korte, T. 721
 Penttilä, I. s. Puukainen, E. 684
 Penttilä, I. M. 732
 Penttilä, I. M. s. Kärkkäinen, P. 691
 Peracino, A. s. Zoppi, F. 59
 Perko, M. 701
 Perko, M. s. Harmoinen, A. 702
 Persijn, J.-P. s. Heiden, W. C. H. van 333
 Petersen, E. s. Wrabetz-Wölke, A. 703
 Petzinna, D. s. Bojar, H. 725
 Pianezzi, A. s. Scholer, A. 363
 Pikkarainen, J. s. Korte, T. 721
 Pilaski, J. s. Staib, W. 726
 Pils, P. s. Zazgornik, J. 241
 Pilz, R. s. Heinz, F. 781
 Pledger, D. R. 701
 Porter, C. J. 439
 Pott, G. 893
 Prokscha, G. W. s. Zänker, K. S. 728
 Puukainen, E. 684
 Puukka, M. 497, 692
 Puukka, M. s. Puukka, R. 706
 Puukka, R. 706
 Puukka, R. s. Puukka, M. 497, 692
 Quabbe, H. J. s. Bethge, N. 734
- Räsänen, V. 700
 Räsänen, V. s. Lalla, M. 688
 Ragagnin, M. s. Férand, G. 39
 Rao, G. S. 307
 Rao, V. H. s. Sambasiva Rao, J. 287
 Rasi, V. 656
 Rasmussen, J. s. Rosleff, F. 755
 Rastetter, J. 647
 Rastogi, S. C. 67
 Ratge, D. 735
 Ratge, D. s. Bosak, J. 413
 Ratge, D. s. Diener, U. 687
 Rausch-Stroemann, J.-G. s. Ernst, M. 705
 Rautenstrauch, H. s. Diener, U. 687
 Rautenstrauch, H. s. Knoll, E. 53
 Reckel, S. s. Heinz, F. 781
 Refsum, H. E. 651
 Rehpennig, W. 743
 Rehpennig, W. s. Kauerz, W. 745
 Reiber, H. 123, 696
 Reiber, H. O. s. Schipper, H. I. 717
 Reimers, D. s. Nocke-Finck, L. 897
 Reinauer, H. s. Oldendörp, J. 901
 Reinhard, U. s. Jakober, B. 708
 Reinhard, U. s. Müller, P. H. 708
 Reinhard, D. s. Schön, F. 355
- Renee, N. s. Milano, G. 157
 Reunanen, M. s. Puukka, M. 497
 Reuschel-Janetschek, E. s. Richter, W. 736
 Reutter, W. s. Bauer, Ch. 670
 Richter, W. 736
 Richter, W. s. Schwandt, P. 736
 Rickenbach, R. van s. Scholer, A. 363
 Riedel, H. 749
 Riesen, W. E. s. Mordasini, R. C. 917
 Rijn, H. J. M. van 627
 Ringwald, J. s. Berg, A. 707
 Robyn, C. s. Jungers, J. 734
 Röhle, G. s. Breuer, H. 659
 Röhr, A. s. Schlaeger, R. 695
 Rösick, N. s. Bethge, N. 734
 Röthig, H.-J. 756
 Röthig, H. J. s. Weisner, B. 746
 Rohner, H. G. s. Kaulhausen, H. 137
 Róka, L. s. Bleyl, H. 710
 Rommel, K. s. Koch, C.-D. 423
 Rommelspacher, H. s. Honecker, H. 133
 Rosleff, F. 755
 Rüdiger, H. 382
 Ruppenthal, E. s. Schmidt, R. 748
 Ryhänen, R. s. Puukainen, E. 684
- Sabatke, L. s. Bencze, K. 13
 Salaspuro, M. s. Liewendahl, K. 737
 Sambasiva, Rao, J. 287
 Sawicki, Z. 694
 Schaast, M. s. Oellerich, M. 169
 Schena, F. P. 17
 Schieb, E. s. Vaith, P. 383
 Schipper, H. I. 717
 Schirmer, R. H. s. Krauth-Siegel, Luise 724
 Schlaeger, R. 695
 Schlebusch, H. 885
 Schlimme, E. 696
 Schmid, G. s. Wisser, H. 297
 Schmid, K. s. Müller, P. H. 708
 Schmidt, E. 668
 Schmidt, K. s. Bruchelt, G. 715
 Schmidt, P. s. Zazgornik, J. 241
 Schmidt, R. 748
 Schmitt, S. s. Köttgen, E. 379
 Schmitz-Huebner, U. 221
 Schmülling, R. M. s. Jakober, B. 708
 Schmülling, R.-M. s. Müller, P. H. 708
 Schneider, M. s. Milano, G. 157
 Schneider, W. 691
 Schön, F. 355
 Schönenhöfer, M. 731
 Schönenhöfer, M. s. Dulce, H. J. 741
 Schönenhöfer, M. s. Jaster, H. J. 742
 Schönenhöfer, M. s. Kage, A. 740
 Scholer, A. 363
- Schottelius, J. 383
 Schramel, P. 591
 Schramm, W. s. Wood, W. G. 711
 Schriewer, H. s. Wihlem, A. 271
 Schröder, H. s. Hilz, H. 655
 Schubert, G. s. Frey, H. O. 722
 Schümann, H.-J. s. Nagel, M. 431
 Schultze, K.-D. s. Fink, P. C. 717
 Schulz, G. E. s. Krauth-Siegel, L. 724
 Schumacher, W. s. Müller-Plathe, O. 690
 Schwandt, P. 736
 Schwandt, P. s. Drosner, M. 750
 Schwandt, P. s. Richter, W. 736
 Schwandt, P. s. Weisweiler, P. 707
 Schwarz, S. 215
 Schweiger, O. s. Tomcsányi, A. 145
 Schwörer, I. 163
 Scriba, P. C. s. Gärtner, R. 571
 Scriba, P. C. s. Marschner, I. 105, 660
 Scriba, P. C. s. Thiel, D. van 807
 Scriba, P. C. s. Wood, W. G. 183, 511
 Seeger, H. T. 706
 Seidel, D. s. Luthe, H. 693
 Seidel, D. s. Walli, A. 754
 Seidel, D. s. Wieland, H. 749
 Seitz, H. J. s. Müller, M. J. 738
 Sewry, C. s. Moss, D. W. 675
 Shinpo, K. s. Teradaira, R. 698
 Shortman, R. C. s. Kahn, S. N. 23
 Sick, H. 689
 Sieber, A. s. Pott, G. 893
 Siedek, M. s. Kaulhausen, H. 137
 Siggaard-Andersen, O. 929
 Singh, S. s. Willers, I. 754
 Sirowej, H. 752
 Sirowej, H. s. Frey, H. O. 722
 Skinningsrud, A. 669
 Skude, G. 680
 Skude, G. s. Birath, K. 680
 Slik, W. van der s. Heiden, W. C. H. van 333
 Sloman, J. C. s. Bell, P. A. 655
 Sluijs Veer, G. van der 305
 Sommer, B. s. Howard Grön, I. 746
 Sorger, M. s. Schlebusch, H. 885
 Sorto, A. s. Jokela, H. 678
 Souverijn, J. H. M. s. Heiden, W. C. H. van 333
 Staab, H. J. 175
 Stadler, H. s. Sirowej, H. 752
 Stahn, R. s. Fabricius, H. Å. 716
 Staib, W. 726
 Staib, W. s. Bojar, H. 725
 Staib, W. s. Stuhldreier, B. 724
 Staiger, Ch. 817
 Stamm, D. s. Hansert, E. 461

- Steffens, E. s. Gorka, G. 697
 Stein, W. 677
 Stenflo, J. 657
 Stenman, S. s. Stenman, U.-H. 727
 Stenman, U.-H. 727
 Stinshoff, K. s. Gorka, G. 697
 Stocks, J. 753
 Stocks, J. s. Dodson, P. M. 751
 Strömer, P. s. Pledger, D. R. 701
 Strømme, J. H. s. Nordby, H. K. 668
 Strohmeyer, T. 672
 Struck, H. s. Unger, Th. 631
 Stuhldreier, B. 724
 Stummvoll, H. K. s. Graf, H. 686
 Stumpf, E. s. Staab, H. J. 175
 Suhartono, H. s. Gundlach, G. 682
 Sutor, D. J. 193
 Svanberg, T. s. Puukka, M. 692
 Tanner, P. s. Liewendahl, K. 737
 Tarkkanen, P. 712
 Tel, R. M. 595
 Tempini, S. s. Idéo, G. 237
 Teradaira, R. 698
 Theodorsen, L. s. Skinningsrud, A. 669
 Thiel, D. van 807
 Thiel, D. van s. Wood, W. G. 511
 Thom, R. 647
 Thomas, J. s. Tarkkanen, P. 712
 Thomas, L. 697
 Thomas, M. s. Sirowej, H. 752
 Thompson, E. J. s. Kahn, S. N. 23
 Thomsen, P. D. s. Bethge, N. 734
 Thygesen, K. s. Hørder, M. 679
 Thygesen, K. s. Hyltoft Petersen, P. 744
 Tietz, N. W. 763
 Tobiasson, P. s. Källberg, M. 491
 Tomaszewski, J. J. 750
 Tomcsányi, A. 145
 Trautschold, I. s. Diederichs, F. 674
 Trautschold, I. s. Mühlhaus, K. 674
 Trendelenburg, Chr. 732
 Trettin, H. s. Leitz, V. M. 718
 Trnka, V. s. Homolka, J. 755
 Trombik, E. s. Müller, M. M. 737
 Tschesche, H. s. Wenzel, H. R. 699
 Ueckert, B. s. Trendelenburg, Chr. 732
 Untucht-Grau, R. s. Krauth-Siegel, L. 724
 Uhlenbrück, G. 373
 Uhlenbrück, G. s. Farrar, G. 376
 Uhlenbrück, G. s. Gilboa-Garber, N. 376
 Uhlenbrück, G. s. Kania, J. 378
 Uhlenbrück, G. s. Klein, P. J. 378
 Uhlenbrück, G. s. Müller, W. 380
 Uhlenbrück, G. s. Müller, W. E. G. 380
 Uhlenbrück, G. s. Newman, R. A. 31
 Uhlenbrück, G. s. Vaith, P. 383
 Uhlenbrück, G. s. Vierbuchen, M. 384
 Uhlhaas, S. s. Olek, K. 567
 Uihlein, M. s. Hajdú, P. 209
 Uldall, A. 303
 Unger, Th. 631
 Urdal, P. s. Nordby, H. K. 668
 Vaith, P. 383
 Vaith, P. s. Müller, W. E. G. 380
 Verheesen, P. E. 351
 Vierbuchen, M. 384
 Vierbuchen, M. s. Farrar, G. 376
 Vierbuchen, M. s. Kania, J. 378
 Vierbuchen, M. s. Klein, P. J. 378
 Vierbuchen, M. s. Müller, W. 380
 Vignali, M. s. Agostoni, A. 771
 Vihko, P. 682
 Vihko, R. 654
 Virkola, P. s. Adlercreutz, H. 695
 Voigt, K. D. s. Harm, K. 694
 Voigt, K. D. s. Klötzl, G. 725
 Voigt, K. D. s. Rehpenning, W. 743
 Vonderschmitt, D. J. s. Scholer, A. 363
 Vormbrock, R. 698
 Voss, B. s. Pott, G. 893
 Vossen, J. G. H. M. 712
 Vries, A. L. De s. Newman, R. A. 31
 Vries, J. de s. Staiger, Ch. 817
 Wachter, C. s. Wood, W. G. 511, 789
 Wagener, C. 821
 Wahlberg, R. 744
 Wahlstedt, Virve s. Holmberg, Helena 681
 Walb, D. s. Thomas, L. 697
 Wallenburg, H. C. S. s. Lanser, A. 327
 Walli, A. 754
 Wallraff, P. 702
 Wallraff, P. s. Gressner, A. M. 797
 Walter, E. s. Staiger, Ch. 817
 Wardenbach, P. s. Olek, K. 567
 Weber, B. s. Dulce, H. J. 741
 Weber, B. s. Jaster, H. J. 742
 Weber, B. s. Kage, A. 740
 Weber, W. s. Hilz, H. 655
 Wegener, M. s. Harm, K. 694
 Wehner, B. s. Klein, P. J. 378
 Weinstock, N. 712
 Weise, M. s. Schlümme, E. 696
 Weisner, B. 746
 Weisner, B. s. Kauerz, U. 745
 Weiss, L. s. Hoffmann, G. E. 129
 Weissel, M. s. Müller, M. M. 737
 Weisweiler, P. 707
 Weisweiler, P. s. Drosner, M. 750
 Wenzel, H. R. 699
 Wenzel, M. 684
 Wenzel, M. s. Fischer, J. H. 747
 Werle, S. s. Frey, H. O. & 22
 Whitaker, K. B. s. Moss, D. W. 675
 Whitehead, T. P. 453
 Wiatr, G. s. Gaertner, H. J. 579
 Wider, G. s. Bayer, P. M. 678

Subject Index

- absorption spectrum
 -, clobazepam 209
ABTS
 -, peroxidase assay 345
 accuracy 69, 78
N-acetyl- β -D-glucosaminidase
 -, urine 53, 687
 --, determination 53
 ---, value, diagnostic 53
 --, under amikacin therapy 687
 --, under cisplatin therapy 687
N-acetyl neuraminic acid
 -, inhibitor 708
 --, thromboxane synthesis 708
 acetyl salicylic acid
 -, bioavailability 720
N-acetyl transferase
 -, synchronization of cell function 763
 acute myeloid leukaemia
 -, stem cell population monitoring 648
adenocarcinoma
 -, gastrointestinal tract 175
 --, carcinoembryonic antigen 175
 adenine
 -, nucleotides 712
 --, platelets 712
 --, determination 712
 ---, by bioluminescence 712
 adenylate cyclase
 -, liver, foetal 748
 --, and chorionic gonadotropin 748
 adrenal steroid hormones
 -, plasma 740
 --, circadian variation 740
 --, episodic variation 740
 adsorption
 -, on surfaces 585
 --, parathyrin 585
 affective diseases
 -, function test 867
 --, neuroendocrine 867
 affinity chromatography
 -, oligosaccharides 381
 ---, T-cell receptors 1
 age
 -, plausibility intervals 694
age dependency
 -, lactate dehydrogenase 305
 -, uric acid 745
 --, serum 745
 alanine aminopeptidase
 -, urine 687
 --, under amikacin therapy 687
 --, under cisplatin therapy 687
alanine aminotransferase
 -, IFCC method 521
 -, stability 521
 albumin
 -, cerebrospinal fluid 7, 245

- albumin
 --, serum 96
 --, standard 96
 alcohol
 --, blood 721
 --, method comparison 721
 --, and drugs 721
 alcohol dehydrogenase
 --, blood 699
 --, fibroblasts 699
 --, hair roots 699
 --, organs 699
 aldehyde dehydrogenase
 --, blood 699
 --, fibroblasts 699
 --, hair roots 699
 --, organs 699
 aldosterone
 --, urine 742
 --, high performance liquid chromatography 742
 --, radioimmunoassay 742
 aluminium
 --, bone biopsy 403
 --, neutron activation analysis 403
 --, serum 591
 --, determination 591
 --, reference values 591
 amikacin
 --, therapy 687
 --, N-acetal- β -D-glucosaminidase 687
 --, urine 687
 --, alanine aminopeptidase 687
 --, urine 687
 amino acids
 --, physical exercise 651
 2-amino-2-methyl-1-propanol
 --, buffer substance 698
 --, phosphatase, alkaline 698
 --, stabilization 698
 aminopeptidases
 --, placenta 631
 β -aminopropionitrile
 --, monoamine oxidase 921
 --, inhibitor 921
 ammonia
 --, physical exercise 651
 amniotic fluid
 --, fibronectin 797
 --, β -glucuronidase 611
 --, and sex of the child 611
 --, proteases 749
 --, lung maturity 749
 amylase
 --, isoenzymes 669, 673, 680, 681
 --, clinical value 669
 --, determination 673, 680, 681
 analysers
 --, specifications 947
 --, guidelines 947
 analysis
 --, clinical chemical 433
 --, comparison 433
 --, statistical problems 433
 androgens
 --, thin layer chromatography 117
 5-androsten-3 β , 17 β -diol
 --, plasma 117
 --, determination 117
 antibiotics
 --, and hormone concentrations 897
 --, blood 897
- antiepileptics
 --, serum 720
 --, enzyme immunoassay 720
 --, gas chromatography 720
 anti-Factor VIII clotting activity
 --, radioimmunoassay 711
 antigen
 --, carinoembryonic 175
 antigen specificity
 --, T-cell receptors 1
 α_2 -antiplasmin
 --, plasma 221
 --, determination 221
 antipyrine®
 --, plasma 817
 --, gas chromatography 817
 anti *Thomsen-Friedenreich* agglutinins
 --, isolation 378
 antithrombin III
 --, plasma 221
 --, determination 221
 α_1 -antitrypsin
 --, in dialyzed patients 241
 --, after kidney transplantation 241
 --, phenotyping 13
 --, clinical relevance 13
 apallic syndrome
 --, catecholamines 735
 --, circadian rhythm 735
 apamin 723
 apolipoprotein A-I
 --, electroimmunoassay 917
 --, radioimmunoassay 917
 apolipoprotein A-II
 --, electroimmunoassay 917
 --, radioimmunoassay 917
 apolipoprotein C
 --, and bezafibrate 750
 --, and dialysis 751
 apolipoprotein C-III-2 753
 apolipoproteins 707
 arsenic
 --, determination 714
 --, atomic absorption spectrometry 714
 arterial walls
 --, and plasmatic coagulation system 545
 --, thromboplastic activity 545
 arylesterase
 --, determination 683
 --, inhibition 683
 --, by lanthanum 683
 aryl-4-hydroxylase 775
 ascorbate
 --, interference 363
 --, uric acid assay 363
 ascorbate oxidase 363
 ascorbic acid
 --, urine 715
 --, determination 715
 --, isotachophoresis 715
 asialoglycoproteins
 --, fate 31
 --, in mouse circulation 31
 assigned values
 --, control specimens 461
 --, determination 461
 --, matrix effects 461
 --, method dependence 461
 atomic absorption spectrometry
 --, arsenic 714
 --, copper 712
 --, mercury 714
 --, zinc 712
- ATP
 --, determination 686
 --, bioluminescence assay 686
 --, urine analysis 686
 --, leukaemia cells 690
 --, and cytotoxic substances 690
 AutoAnalyzer II
 --, glucose determination 255
 --, blood 255
 automation
 --, definition 455
 automatization
 --, definition 455
 --, perspectives 455
- bacteriuria
 --, screening 712
 --, bioluminescence 712
 bee venom peptides
 --, and granulocyte migration 723
 N-benzoyl-L-tyrosyl-p-aminobenzoic acid
 --, pancreatic function test 551
 --, toxicity 551
 benzopyrene-3-monoxygenase 775
 betamethasone
 --, and hormones in pregnancy 748
 bezafibrate
 --, hyperlipoproteinemia IV 750
- Bhattacharya* plot 621
 bile
 --, copper excretion 713
 --, and glutathione depletion 713
 --, and paracetamol 713
 --, and penicillamine 713
 --, palmitic acid 193
 --, free 193
 --, zinc excretion 713
 --, and glutathione depletion 713
 --, and paracetamol 713
 --, and penicillamine 713
 bile acids
 --, glycine conjugation 407
 --, colorimetry 407
 bilirubin
 --, cerebrospinal fluid 7
 --, total 27
 --, serum 27
 --, neonates 27
 --, survey report 27
 bioavailability
 --, acetylsalicylic acid 720
 bioluminescence
 --, adenosine nucleotides 712
 --, ATP assay 686
 --, bacteriuria screening 712
 biotransformation
 --, enzymes 775
 --, quality control 775
 biuret reagent 697
 bleomycin
 --, leukaemia treatment 690
 --, ATP 690
- blood see also cord blood
 erythrocytes, plasma, serum
 --, coagulation 744
 --, reference material 744
 --, ethanol 722
 --, microdetermination 722
 --, glucose 129, 149, 255, 275, 885
 --, determination 129, 885
 --, and deproteinization 129
 --, men 897
 --, cortisol 897
 --, after rifampicin 897
 --, after streptomycin 897
 --, testosterone 897
 --, after rifampicin 897
 --, after streptomycin 897
 --, occult 695
 --, faeces 695
 --, phenylpyruvic acid 755
 --, thyrotropin 807
 --, screening 807
 blood/brain barrier
 --, dysfunction 717
 --, IgG 717
 blood gases 829
 blood group 4, 383
 bone
 --, biopsy 403
 --, aluminium 403
 --, phosphorus 403
 brain
 --, acute damage 668
 --, creatine kinase-BB 668
 --, magnesium 257
 breast cancer
 --, catechol-O-methyltransferase 763
 --, receptor assay 727, 728, 729
- bupivacaine
 --, plasma 351
 --, gas chromatography 351
- C-peptide
 --, plasma 313
 --, urine 313
 C-reactive protein
 --, determination 710
- C1 esterase
 --, inhibitor 17
 --, assay 17
 --, hereditary angio-neurotic edema 17
 --, inhibition mechanism 17
- , *Michaelis* constant
 Ca^{2+} -paradox
 --, enzyme release 674
- , by rat heart 674
 calcitonin
 --, assay 664
 --, serum 747
 --, neonates 747
 --, pregnancy 747
- calibration 855
 cAMP
 --, plasma 909
 --, after glucagon 909
 --, radioimmunoassay 732
 --, inhibition by EDTA 732
- , receptors 656
 --, tissue 656
 --, malignant 656
- cancer
 --, polyamines 698
 --, urine 698
- cancer therapy
 --, monitoring 763

- carbamazepin
 -, serum 227
 --, determination 227
 carbohydrates
 -, content 31
 --, glycoproteins 31
 carbon dioxide
 -, partial pressure 829
 carbon tetrachloride
 -, and protein phosphorylation 111
 carcinoembryonic antigen 821
 -, adenocarcinoma 175
 --, gastrointestinal tract 175
 -, immune complexes 175
 carcinogenesis
 -, steroid epoxides 937
 catabolism
 -, enzymes 679
 catalase
 -, erythrocytes 771
 --, cord blood 771
 --, maternal 771
 catecholamines
 -, circadian rhythm 735
 --, apallic syndrome 735
 -, conjugated 431
 --, plasma 431
 ---, determination 431
 -, methylation 413
 --, enzymatic 413
 -, plasma 413
 -, response 367
 --, to exercise 367
 -, urine 567
 catechol-O-methyltransferase
 -, breast tissue 763
 --, radioenzymatic assay 672
 --, hair root cells 672
 CEA 175, 821
 cefotaxime
 -, serum 719
 --, determination 719
 --, by HPLC 719
 -, urine 719
 --, determination 719
 --, by HPLC 719
 cerebrospinal fluid
 -, albumin 245
 -, circulation 746
 --, prealbumin as indicator 746
 -, cisternal 745
 --, glucose 745
 -, diagnosis 7
 --, with rapid tests 7
 -, fibronectin 797
 --, glucose 129, 275
 --, determination 129
 --, and deproteinization 129
 -, IgA 245
 -, IgG 245
 -, IgM 245
 -, lactate 746
 --, meningitis purulenta 746
 -, lumbar 745
 --, glucose 745
 --, α_2 -macroglobulin 671
 -, peptide hormones 731
 --, separation 731
 -, prealbumin 245
 -, production 746
 --, prealbumin as indicator 746
 -, protein pattern 23
 --, polyacrylamide gel electrophoresis 23
 --, sample preparation 23
- cerebrospinal fluid
 -, proteins 7, 123
 --, adsorption 7
 --, to reaction vessels 7
 --, nephelometry 123
 -, ventricular 745
 --, glucose 745
 circadian rhythm see also variation
 -, catecholamines 735
 --, apallic syndrome 735
 cisplatin
 -, leukemia treatment 690
 --, ATP 690
 -, therapy 687
 --, N-acetyl- β -D-glucosaminidase 687
 --, urine 687
 --, alanine aminopeptidase 687
 --, urine 687
 Chagas disease
 -, trypanosomes 383
 --, characterization 383
 --, by lectins 383
 chenodeoxycholic acid
 -, serum 491
 --, radioimmunoassay 491
 children
 -, reference values 713
 --, copper 713
 --, serum 713
 --, urine 713
 --, zinc 713
 --, serum 713
 --, urine 713
 chloride
 -, urine 703
 cholestasis
 -, extrahepatic 111
 --, and protein phosphorylation 111
 cholesterol see also HDL, LDL
 -, method comparison 595, 752
 cholesterolemesterase
 -, specificity 595
 cholesteryl esters
 -, hydrolysis 595
 cholic acid
 -, serum 491
 --, radioimmunoassay 491
 chorionic gonadotropin
 -, adenylate cyclase 747
 --, liver, foetal 747
 -, determination 733
 β -chorionic gonadotropin 821
 chromate
 -, tubular damage 686
 chromatography see high performance liquid, ion exchange, thin layer
 chromogenic substrates 631
 chromogenic substrate S-2444 557
 Chromozyme 709
 Chromozyme TRY 671
 chymotrypsin
 -, faeces 695
 --, determination 695
 clearance
 -, creatinine 423
 --, variation 423
 -, urea 423
 --, variation 423
 clinical chemistry
 -, perspectives 453, 455
 --, automatization 455
 --, postgraduate course 439
- cloiazepam
 -, serum 209
 --, determination 209
 -, urine 209
 --, determination 209
 clotting tests see also coagulation
 -, and glycerophosphatides 711
 coagulation see also clotting
 -, determination 659, 709, 710
 --, chromogenic substrate 659
 --, non-carboxylated factors 710
 --, reference material 744
 coagulation system
 -, plasmatic 545
 --, and thromboplastic activity 545
 --, of arterial walls 545
 cold agglutinins
 -, monoclonal 716
 --, for glycoconjugate-associated antigens 716
 --, neoplastic cells 716
 cold insoluble globulin
 -, laser nephelometry 702
 collagen
 -, metabolism 287
 --, protein malnutrition 287
 colloid osmotic pressure
 -, plasma 233
 --, determination 233
 competitive protein binding assay
 -, progesterone 355
 complement 17
 computer processing
 -, radioimmunoassay data 660
 computer programme
 -, HP 97 215
 --, radioimmunoassay 215
 confidence intervals
 -, radioimmunoassay 879
 consensus value 461
 control materials 855
 control specimens
 -, assigned values 461
 --, determination 461
 copper
 -, excretion 713
 --, in rat bile 713
 --, and glutathione depletion 713
 --, and paracetamol 713
 --, and penicillamine 713
 -, serum 712
 --, determination 712
 --, atomic absorption spectrometry 712
 --, reference values 713
 --, children 713
 -, urine 713
 --, reference values 713
 --, children 713
 cord blood see also erythrocytes
 -, creatine kinase 675
 --, *Duchenne* muscular dystrophy 675
 corticosteroid
 -, binding globulin 137
 --, binding capacity 137
 --, in liver cirrhosis 137
 corticotropin
 -, plasma 740
 --, circadian variation 740
 --, episodic variation 740
- cortisol
 -, blood 897
 --, of men 897
 --, after rifampicin 897
 --, after streptomycin 897
 -, plasma 740
 --, diurnal variation 740
 -, serum 183, 867
 --, after insulin 867
 --, after thyroloberin 867
 --, quality control survey 183
 coumarol
 -, treatment 709
 --, monitoring 709
 counting
 -, leukocytes 691
 covariance selection 743
 craniocerebral damage
 -, creatine kinase 676
 --, isoenzymes 676
 creatine kinase
 -, isoenzymes 676
 --, craniocerebral damage 676
 --, mitochondrial 679
 --, radioimmunoassay 679
 -, serum 675
 --, *Duchenne* muscular dystrophy 675
 creatine kinase-BB
 -, acute brain damage 668
 --, macro form 677, 678
 --, binding site 677, 678
 --, IgG 677, 678
 creatine kinase-MB
 -, acute myocardial infarction 676
 --, determination 679
 --, fractionation 678
 creatinine
 -, clearance 423
 --, variation 423
 -, physical exercise 651
 -, serum 423
 --, variation 423
 -, true 385
 --, serum 385
 --, urine 385
 -, urine 423, 705
 --, variation 423
 curve-fitting methods 105, 197
 cuvette
 -, specifications 445
 --, listing 445
 cystine aminopeptidase
 -, placenta 631
 cystinuria
 -, screening 303
 cytarabine
 -, leukaemia treatment 690
 --, ATP 690
- dacarbazine
 -, leukemia treatment 690
 --, ATP 690
 data
 -, handling 947
 --, structure 461
 --, from different laboratories 461
 definitive value 461
 dehydroepiandrosterone
 -, metabolism 747
 --, placenta 747

- dehydroepiandrosterone
 -, plasma 117
 --, determination 117
 -, urine 741
 --, determination 741
 delipidation
 -, serum 917
 density
 -, measurement 233
 --, by mechanical oscillator technique 233
 -, plasma 615
 --, measurement 615
 ---, and haemolysis 615
 depression
 -, 3-methoxy-4-hydroxy-phenylglycol 579
 --, urine 579
 depressive syndrome
 -, function test 867
 --, neuroendocrine 867
 desacetylcefotaxime
 -, serum 719
 --, determination 719
 ---, by HPLC 719
 -, urine 719
 --, determination 719
 ---, by HPLC 719
 detectability 78
 diabetes
 -, glycosaminoglycan, novel 672
 -, lipoproteins 752
 --, carbohydrate content 752
 -, rat 901
 diabetogenic action
 -, thyroid hormone 738
 diagnostic significance
 -, tumour marker 821
 dialysis
 -, and lipoproteins 751
 diethylstilboestrol
 -, receptor binding 729
 differentiation
 -, leukocytes 647, 691, 692
 --, *May-Grünwald-Giemsa* staining 691
 digitonin
 -, enzyme release 674
 --, by rat heart 674
 $\Delta\alpha$ -dihydrotestosterone
 -, and sex-hormone binding globulin 730
 2,4-dinitrophenol
 -, enzyme release 674
 --, by rat heart 674
 disc electrophoresis
 -, proteins 53
 --, urine 53
 ---, value, diagnostic 53
 diurnal variation see also variation
 -, prostatic acid phosphatase 297
 dopamine
 -, plasma 367, 413
 --, exercise 367
 --, radioenzymatic assay 367
 doxorubicin
 -, leukaemia treatment 690
 --, ATP 690
 drugs
 -, and alcohol 721
 -, interference 385
- Duchenne* muscular dystrophy
 -, creatine kinase 675
 --, cord blood 675
 --, serum 675
Dyggve-Melchior-Claussen syndrome
 -, α_2 -macroglobulin 67
 --, serum 67
- ECCLS
 -, byelaws 637
 --, revised 637
 edema
 -, hereditary angioneurotic 17
 EDTA
 -, lead elimination 163
 elastase
 -, leukocyte 699
 --, determination 699
 electroimmunoassay
 -, apolipoprotein A-I 917
 -, apolipoprotein A-II 917
 elimination
 -, lead 163
 emergency analyses 693
 emergency laboratory
 -, information system 39
 emission spectral analysis
 -, aluminium 591
 EMIT
 -, methotrexate 169
 encephalitis
 -, viral 717
 --, IgG 717
 encephalomyelitis
 -, experimental allergic 1
 endometrium
 -, steroid receptors 654
 endotoxaemia
 -, proteases 671
 --, and protease inhibitors 671
 enzyme
 -, activities 649
 --, physical exercise 649
 ---, extracellular fluid 649
 enzyme immunoassay
 -, antiepileptics 720
 -, heterogeneous 197
 -, homogeneous 197
 -, hormone determination 662
 -, marker enzymes 197
 -, mechanization 197
 -, methotrexate 169
 -, oestradiol-17 β 664
 -, oestrogens 327, 735
 -, placental lactogen 735
 -, pregnancy-specific β_1 -glycoprotein 710
 -, reliability 197
 --, criteria of 197
 -, testosterone 661
 -, triiodothyronine 718
 enzyme linked immunosorbent assay
 -, peroxidase assay 345
 enzymes
 -, catabolism 679
 --, two-compartment model 679
 -, cellular 666
 --, in extracellular space 666
 -, determination 89
 --, IFCC methods 89
 -, differentiation 379
 --, by lectins 379
 -, elimination 666
- enzymes
 -, glycosaminoglycan depolymerizing 672
 --, scoliotic children 672
 -, markers 197
 --, enzyme immunoassay 197
 -, release 674
 --, rat heart 674
 ---, by Ca^{2+} -paradox 674
 ---, by digitonin 674
 ---, by 2,4-dinitrophenol 674
 --, urine 686
 --, kidney damage 686
 enzyme tests
 -, risk populations 763
 --, identification 763
 epidural analgesia
 -, bupivacaine 351
 --, determination 351
 epinephrine
 -, plasma 367, 413
 --, exercise 367
 --, radioenzymatic assay 367
 epoxide hydrolase 775
 epoxides
 -, steroids 937
 --, carcinogenesis 937
 16α , 17 α -epoxy-4-androsten-3-one 937
 16α , 17 α -epoxyoestratrienol 937
 16α , 17 α -epoxyprogesterone 937
 errors
 -, differentiation 433
 erythrocytes see also blood, cord blood
 -, cerebrospinal fluid 7
 -, cord blood 771
 --, catalase 771
 --, glutathione peroxidase 771
 --, superoxide dismutase 771
 -, magnesium 257
 -, maternal 771
 --, catalase 771
 --, glutathione peroxidase 771
 --, superoxide dismutase 771
 -, membrane 377
 --, glycoproteins 377
 -, oxygen dissociation curves 689
 -, reference values 621
 estrogen see oestrogen
 ethanol
 -, and γ -glutamyltransferase 237
 --, microdetermination 722
 ethosuximide
 -, serum 339
 --, gas chromatography 339
 ethoxycumarine-O-deethylase 775
 evaluation
 -, instruments 693
 --, principles 693
 excretion
 -, magnesium 257
 exercise
 -, catecholamine response 367
 --, physical 649, 651, 652, 707, 708
 --, enzyme activities 649
 --, extracellular fluid 649
 --, HDL-cholesterol 707
- exercise
 -, physical 652
 --, lactate 652
 ---, formation kinetics 652
 --, lipid metabolism 708
 ---, in insulin deficiency 708
 --, lipoproteins 652
 --, metabolism 651
 --, somatotropin release 708
 ---, in pancreatectomized men 708
 -, renin 367
 extracellular fluid
 -, enzyme activities 649
 --, physical exercise 649
 extracellular space
 -, enzymes 666
 --, cellular 666
 extraction
 -, bupivacaine 351
 --, catecholamines 367
 --, steroids 355
- F-CB3
 --, radioimmunoassay 711
 factor VIII-related antigen
 --, radioimmunoassay 711
 faeces
 -, blood 695
 --, occult 695
 --, chymotrypsin 695
 fast red TR 603
 fenoterol
 -, and hormones in pregnancy 748
 --, tocolysis 687
 ferritin
 -, particle counting immunoassay 701
 feto- see foeto-fibrinolysis
 --, determination 659
 --, chromogenic substrates 659
 --, regulation 657
 fibronectin
 -, body fluids 702, 797
 --, laser nephelometry 702, 797
 -, plasma 893
 --, laser nephelometry 893
 --, liver diseases 893
 fibrinopeptide-A
 --, radioimmunoassay 711
 fibroblasts
 -, alcohol dehydrogenase 699
 --, aldehyde dehydrogenase 699
 flow diagram
 -, 5'-nucleotidase 333
 --, uric acid 363
 fluorometry
 -, clobazepam 209
 fluorouracil
 -, leukaemia treatment 690
 --, ATP 690
 α -foetoprotein 821
 --, particle counting immunoassay 701
 folate
 -, binding 715, 716
 --, to cow's milk protein 715
 --, to leukaemia serum protein 716
 Friedewald formula 751
 fucosyltransferase
 -, serum 670
 --, tumour therapy monitoring 670

- function test
 -, neuroendocrine 867
 --, for affective diseases 867
- galactans
 -, and lectins 376
- galactosyltransferase II
 -, tumour marker 763
- gas chromatography
 -, antiepileptics 720
 -, antipyrine® 817
 -, bupivacaine 351
 -, carbamazepin 227
 -, clobazepam 209
 -, ethosuximide 339
 -, 3-methoxy-4-hydroxy-phenylglycol 579
 -, phenazone 817
 -, phenobarbital 227
 -, phenytoin 227
 -, primidone 227
 -, valproic acid 339, 497
- gestosis
 -, uric acid 749
- glomerula
 -, kidney 901
 --, isolated 901
 ---, metabolism 901
 ----, and insulin 901
- glucagon
 -, and cAMP 909
 --, plasma 909
- glucose
 -, bivariate reference range 745
 --, CSF/serum 745
 -, blood 129, 149, 255, 275
 --, determination 255, 275
 ---, kinetic 275
 --, and deproteinization 129
 -, cerebrospinal fluid 275, 745
 --, cisternal 745
 --, determination 275
 ---, kinetic 275
 --, lumbar 745
 --, ventricular 745
 -, determination 885
 --, blood 885
 ---, hemolysed 885
 -, metabolism 901
 --, glomerula 901
 -, monitoring 732
 -, serum 49, 867
 --, after insulin 867
 --, after thyroliberin 867
 --, kinetic determination 49
 ---, hexokinase method 49
 -, urine 275, 703
 --, determination 275
 ---, kinetic 275
- glucose dehydrogenase
 -, glucose determination 255
- glucose-6-phosphate dehydrogenase
 -, inhibition 49
 --, competitive 49
- β -glucuronidase
 -, amniotic fluid 611
 --, and sex of the child 611
- glucuronidation 307
- γ -glutamyltransferase
 -, histochemistry 237
 -, isoenzymes 673
 -, liver 237
 --, and ethanol 237
 -, plasma 237
 --, and ethanol 237
- glutathione
 -, depletion 713
 --, copper excretion 713
 --, zinc excretion 713
- glutathione peroxidase
 -, erythrocytes 771
 --, cord blood 771
 --, maternal 771
- glutathione reductase
 -, receptor model 724
- goitre 909
- granulocyte
 -, migration 723
 --, and bee venom peptides 723
- guaiac test 695
- glycerol-2-phosphate
 -, inhibitor 781
 --, 5'-nucleotidase 781
- glycerophosphatides
 -, and clotting tests 711
 --, determination 711
 --, enzymatic 711
- glycine
 -, bile acid conjugation 407
 --, colorimetry 407
- glycoconjugate-associated antigens
 -, neoplastic cells 716
 --, and monoclonal cold agglutinins 716
- glycoproteins
 -, carbohydrate content 31
 -, desialylated 31
 --, fate 31
 ---, in mouse circulation 31
 --, erythrocyte membrane 377
 --, interaction 379
 --, lectins 379
 --, lymphocyte membrane 377
- glycosaminoglycan
 -, novel 672
 --, in diabetics 672
- glycosaminoglycans
 -, depolymerizing enzymes 672
 --, scoliotic children 672
- haematin D-575 689
- haematocrit
 -, fenoterol 687
 --, reference values 621
 -, verapamil 687
- haematology
 -, quality control 649
 --, spin label method 648
- haemodialysis
 -, α_1 -antitrypsin 241
 --, serum 241
- haemoglobin
 -, determination 689
 --, by alkaline haematin D-575 689
 --, fenoterol 687
 --, glycosylated 686
 --, chronic renal failure 686
- haemolysate
 -, glucose 885
- haemolysis
 -, interference 615
 --, density measurement 615
 --, reagent 255, 885
- haemostasis 545
- haemolyzing agent 255, 885
- hair roots
 -, alcohol dehydrogenase 699
- , aldehyde dehydrogenase 699
- , catechol-O-methyltransferase 672
- HDL-cholesterol
 -, determination 705
 --, exercise, physical 707
 --, method comparison 752
 --, plasma 737
 --, and thyroid state 737
- , and pseudocholinesterase 684
- HDL
 -, apolipoprotein-A 917
- heart
 -, coronary disease 749
 --, lipoproteins 749
 --, magnesium 257
 --, rat 674
 --, enzyme release 674
 --, by Ca^{2+} -paradox 674
 --, by digitonin 674
 --, by 2,4-dinitrophenol 674
- hemo- see haemo-
- heparin
 -, action 710
 --, plasma 658
 --, determination 658
 ---, clinical relevance 658
- hepatic fibrosis 921
- hereditary angioneurotic edema 17
- heterogeneity
 -, α_1 -antitrypsin 13
- high density lipoproteins 917
- high performance liquid chromatography
 -, aldosterone 742
 -, cefotaxime 719
 -, dehydroepiandrosterone 741
 --, desacetylcefotaxime 719
 --, 18-hydroxycorticosterone 742
 --, testosterone 741
 --, uric acid 702
- high voltage electrophoresis
 -, polyamines 698
- histochemistry
 -, γ -glutamyltransferase 237
- hormone
 -, determination 662
 --, enzyme immunoassay 662
- hydrogen ion activity 829
- 18-hydroxycorticosterone
 -, urine 742
- , high performance liquid chromatography 742
- , radioimmunoassay 742
- hydroxylsyl glycosides
 -, urine 287
- hydroxyproline
 -, urine 287
- hyperlipoproteinaemia IV
 -, bezafibrate therapy 750
- , apolipoprotein C 750
- hypermagnesaemia 257
- hyperthyroidism 909
- hypomagnesaemia 257
- hypophysis
 -, stimulation 867
- hypothyroidism 909
- , congenital 755, 807
 --, screening 755, 807
- hypoxanthine phosphoribosyl-transferase
 --, variants 754
- ICP-spectroscopy 591
- IgA
 -, cerebrospinal fluid 7, 245
 --, determination 245
- IgE
 -, serum 145
 --, method comparison 145
- IgG
 -, cerebrospinal fluid 7, 245
 --, determination 245
 --, creatine kinase binding 677, 678
 --, neurological diseases 717
 --, particle counting immuno-assay 701
 --, protein-A binding 677
 --, turbidimetric assay 501
- IgM
 -, cerebrospinal fluid 245
 --, determination 245
- immune complex-like material
 -, liver cirrhosis 717
 --, septicaemia 717
- immunoglobulins
 -, serum 718
 --, determination 718
- immunohistochemistry
 -, parathyrin 739
- immunoturbidimetry
 -, protein determination 501
 --, measuring time interval 501
 --, reaction medium 501
- imprecision 433
- indometacin
 -, and purine metabolism 754
- indoxylphosphate
 -, substrate 682
 --, phosphatase, acid 682
- information system
 -, emergency laboratory 39
- inhibition
 -, arylesterase 683
 --, by lanthanum 683
 --, glucose-6-phosphate dehydrogenase 49
 --, by ATP 49
- inhibitors
 -, N-acetyl neuraminic acid 708
 --, of thromboxane synthesis 708
 --, Cl esterase 17
 --, monoamine oxidase 921
 --, β -aminopropionitrile 921
- , 5'-nucleotidase 781
 --, sialyltransferase 271
- instruments
 -, evaluation principles 693
- insulin
 -, antibodies 313
 --, deficiency 708
 --, lipid metabolism 708
 ---, and physical exercise 708
 --, magnesium metabolism 257
 --, metabolic activity 901
 --, glomerula 901
 ---, isolated 901
 --, monitoring 732
 --, neuroendocrine function test 867
 --, plasma 313
 --, urine 313

- interferences
 --, by drugs 385
 --, gas chromatography 339
 ---, ethosuximide 339
 ---, valproate 339
 --, haemoglobin 615
 ---, density measurement 615
 --, proteins 697
 ---, by dextran 697
 --, sialyltransferase assay 271
 --, sucrose 23
 --, protein pattern 23
 --, turbidity 149
 --, uric acid assay 59, 363
 ---, by ascorbate 363
 interleukin-2 inducing protein 716
 intestine
 --, magnesium 257
 ion exchange chromatography
 --, catecholamine derivatives 567
 ---, of *o*-phthalaldehyde 567
 --, orotic acid 293
 --, polyamines 157
 iron
 --, plasma 714
 ---, method comparison 714
 --, serum 147
 ---, method comparison 147
 isoelectric focussing
 --, enzymes 631
 ---, placental 631
 --, polyacrylamide gel 13
 ---, protein separation 13
 ---, effect of urea 13
 --, transferrins 563
 isoenzymes
 --, amylase 669, 673, 680, 681
 ---, method comparison 681
 --, creatine kinase 676, 677, 678, 679
 --, γ -glutamyltransferase 673
 --, lactate dehydrogenase 675
 isotachophoresis
 --, ascorbic acid 715
- 17-ketosteroids 741
 kidney
 --, chronic failure 686, 751
 ---, haemoglobin 686
 ---, glycosylated 686
 ---, and lipoproteins 751
 --, damage 686
 ---, enzymes 686
 ---, urine 686
 --, function 551
 ---, and pancreatic function test 551
 --, glomerula 901
 ---, isolated 901
 ---, metabolism 901
 ---, and insulin 901
 --, lesion 378
 ---, by neuraminidase 378
 --, magnesium 257
 --, maltase 685
 --, *Tamm-Horsfall* glycoprotein 376
 ---, characterization 376
 --, transplantation 241, 688
 ---, α_1 -antitrypsin 241
 ---, serum 241
 --, pepsinogens 688
 ---, serum 688
 kinetic method
 --, urea 706
- kallikrein
 --, urine 395
 ---, radioimmunoassay 395
- lactate
 --, cerebrospinal fluid 746
 ---, meningitis purulenta 746
 --, physical exercise 652
- lactate dehydrogenase
 --, isoenzyme, sixth 675
 ---, in cardiogenic shock 675
 --, reference values 305
 ---, age dependency 305
- lanthanum
 --, arylesterase inhibition 683
- laser nephelometry 221, 245
 --, fibronectin 702, 797, 893
- , lectin-glycoprotein interaction 379
- LDL-cholesterol
 --, Friedewald formula 751
 --, method comparison 752
 --, significance 751
- lead
 --, elimination 163
- lectin
 --, receptors 377, 384
 ---, leukemia cells 377
 --, mammary gland 384
 --, sponge 380
 ---, function 380
- lectins
 --, affinity chromatography 381
 --, definition 373
 --, enzyme differentiation 379
 --, galactose specific 376
 ---, and galactans 376
 --, interaction 379
 --, glycoproteins 379
 --, invertebrates 373
 --, plants 373
 --, protein binding 382
 --, receptors 380
 --, plexus chorioideus 380
 --, specificity 373
 --, structure 382
 --, trypanosome characterization 383
 --, vertebrates 373
- Lesch-Nyhan* syndrome
 --, fibroblasts 754
 ---, metabolism 754
- leukaemia
 --, cells 377, 655, 690
 --, ATP 690
 ---, and cytotoxic substances 690
 --, glucocorticoid receptors 655
 --, lectin receptors 377
 --, serum 716
 --, folate binding 716
- leukocytes
 --, cerebrospinal fluid 7
 --, counting 691
 --, differentiation 647, 691, 692
 --, elastase 699
 --, reference values 621
- lipids
 --, metabolism 708
 ---, in insulin deficiency 708
 ---, and physical exercise 708
- lipoprotein lipase 753
 lipoprotein X
 --, catabolism 754
- lipoproteins see also HDL, LDL, VLDL
 --, carbohydrate content 752
 --, and dialysis 751
 --, method comparison 753
 --, physical exercise 652
 --, serum 749
 ---, coronary heart disease 749
- β -lipotropin
 --, preparation 736
 --, determination 736
- lithium
 --, therapy 867
 ---, depressive patients 867
- liver
 --, carbon tetrachloride poisoning 111
 --, cell injury 684
 ---, proteoglycan synthesis 684
 --, cirrhosis 137, 717
 ---, corticosteroid binding globulin 137
 ---, immune complex-like material 717
 ---, sex hormone binding globulin 137
 --, chronic diseases 737
 ---, sex hormones 737
 ---, thyroid hormones 737
 --, diseases 893
 --, fibronectin 893
 --, fibrosis 921
 ---, and monoamine oxidase 921
 ---, serum 921
 --, foetal 748
 --, adenylate cyclase 748
 ---, and chorionic gonadotropin 748
 --, γ -glutamyltransferase 237
 ---, and ethanol 237
 --, glycosaminoglycans 279
 --, injury 111, 279
 ---, proteins 111
 ---, ribosomal 111
 --, rat 279
 --, magnesium 257
 logit transformation 105
 lung
 --, diseases 13
 ---, α_1 -antitrypsin 13
 --, maturity 749
- lymph nodes
 --, magnesium 257
- lymphocytes
 --, membrane 377
 --, glycoproteins 377
- lysozyme 694
- macro creatine kinase 677, 678
- α_2 -macroglobulin
 --, chromogenic assay 671
 --, plasma 221
- , determination 221
 --, serum 67
- , *Dygge-Melchior-Clausen* syndrome 67
 --, serum/CSF gradient 671
- magnesium
 --, analysis 257
 --, biochemical functions 257
 --, distribution 257
 ---, extra/intracellular 257
 --, hormonal regulation 257
 --, organelles 257
 --, excretion 257
 --, human body 257
- magnesium
 --, organs 257
 --, physico-chemical state 257
 ---, extra/intracellular 257
 --, organelles 257
 --, plasma 257
 --, resorption 257
 --, serum 257
 --, transport 257
- magnetic solid-phase radioimmuno-assay 706
- maltase
 --, determination 685
 ---, kidney preparation 685
 ---, urine 685
- mammary carcinoma
 --, oestrogen receptors 653
- mammary gland
 --, lectin receptors 384
- malnutrition
 --, protein 287
 ---, collagen metabolites 287
 ---, urine 287
- mass spectrometry
 --, steroid epoxides 937
- mast cell degranulating peptide
 --, membrane interaction 723
- matrix effects
 --, precision 461
- May-Grünwald-Giemsa* staining 691
- MCH
 --, reference values 621
- MCHC
 --, reference values 621
- MCV
 --, reference values 621
- mechanical oscillator technique
 --, density 233
 ---, measurement of 233
- mechanization
 --, definition 455
- , enzyme immunoassay 197
- medroxyprogesterone
 --, receptor binding 729
- melanoma
 --, steroid binding 724
- melatonin
 --, synchronization of cell function 763
- melittin 723
- membrane
 --, interaction 723
 ---, of mast cell degranulating peptide 723
- meningitis purulenta
 --, lactate 746
 ---, cerebrospinal fluid 746
- mercury
 --, determination 714
- , atomic absorption spectrometry 714
- metabolism
 --, physical exercise 651
- metanephrine
 --, thin-layer chromatography 413
- methionine adenosyltransferase
 --, schizophrenia 763
- method comparison
 --, amylase isoenzymes 681
- , blood alcohol 721
- , cholesterol 595, 752
- , IgE 145
- , iron 147, 714
- , lipoproteins 753
- , oestrogens 731
- , phosphatase, acid 681

- method comparison
 -, protein, total 697
 -, statistical problems 433
 -, thyrotropin 807
 --, radioimmunoassay 807
 -, uric acid 702
 method dependence
 -, assigned values 461
 -, precision 461
 method description 78
 methotrexate
 -, serum 169
 --, enzyme immunoassay 169
 3-methoxy-4-hydroxyphenylglycol
 -, urine 579
 --, gas chromatography 579
 3-methoxytyramine
 -, thin-layer chromatography 413
 N1-methyl adenosine
 -, urine 696
 --, determination 696
 methylation
 -, enzymatic 413
 --, catecholamines 413
 N7-methyl guanosine
 -, urine 696
 --, determination 696
 3N-methylhistidine
 -, urine 756
 --, and muscle catabolism 756
 5-methyltetrahydrofolate
 -, binding 715
 --, to cow's milk protein 715
 methyltriolone
 -, receptor binding 729
Michaelis constant
 -, C1 esterase 17
 mitochondria
 -, creatine kinase 679
 monoamine oxidase
 -, determination 921
 --, serum 921
 ---, in hepatic fibrosis 921
 -, inhibition 921
 --, by β -aminopropionitrile 921
 -, schizophrenia 763
morbus Crohn
 -, fibronectin 797
mucopolysaccharidoses 67
multiple sclerosis
 -, IgG 717
muscle
 -, catabolism 755
 --, 3N-methylhistidine 755
 ---, urine 755
 -, magnesium 257
myelin basic protein
 -, enzyme immunoassay 345
myocardial infarction
 -, creatine kinase-MB 676
 -, enzymes 679

NADPH-cytochrome reductase
 775
1-naphthol
 -, coupling 603
 --, with fast red TR 603
neonates
 -, bilirubin 27
 --, serum 27
 ---, survey report 27
 -, calcitonin 747
 -, parathyroid 747

neoplastic cells
 -, glycoconjugate-associated antigens 716
 --, and monoclonal cold agglutinins 716
nephelometry
 -, laser 221
 --, α_2 -antiplasmin 221
 --, antithrombin III 221
 --, α_2 -macroglobulin 221
 -, proteins 123, 245
 --, cerebrospinal fluid 123, 245
nephrotic syndrome 381
neuraminidase
 -, kidney lesion 378
neurophysins
 -, preparation 736
neurosyphilis
 -, IgG 717
neutron activation analysis
 -, aluminium 403
 -, phosphorus 403
nickel
 -, inhibitor 781
 --, 5'-nucleotidase 781
non-carboxylated coagulation factors 710
norepinephrine
 -, plasma 367, 413
 --, exercise 367
 --, radioenzymatic assay 367
normal range
 -, corticosteroid binding globulin 137
 -, sex hormone binding globulin 137
normetanephrine
 -, thin-layer chromatography 413
nucleic acids
 -, metabolism 901
 --, glomerula 901
5'-nucleotidase
 -, inhibitors 781
 --, spectrophotometric assay 781
 -, serum 333
 --, AutoAnalyzer II 333
oestradiol
 -, and sex-hormone binding globulin 730
oestradiol-17 β
 -, enzyme immunoassay 664
oestradiol-fluorescein conjugate 727
oestriol
 -, pregnancy 748
oestrogens
 -, binding 724
 --, melanoma 724
 -, enzyme immunoassay 735
 -, receptor 653, 728
 --, capacity modulation 728
 ---, by phosphatidyl choline 728
 --, melanoma 653
 -, serum 327
 --, total 327
 ---, enzyme immunoassay 327
 -, urine 731
 --, method comparison 731
oligosaccharides
 -, affinity chromatography 381
 -, separation 381
organization
 -, laboratory 455

organ preservation
 -, heavy water 747
organs
 -, alcohol dehydrogenase 699
 -, aldehyde dehydrogenase 699
ornithine transcarbamylase
 -, deficiency 293
orotic acid
 -, urine 293
 --, determination 293
oscillator technique
 -, density measurement 615
osmolality 829
osmotic concentration 829
outliers
 -, recognition 433
oxygen
 -, dissociation curves 689
 --, determination 689
 -, half saturation pressure 690
 --, determination 690
 -, partial pressure 829

palmitic acid
 -, free 193
 --, in bile 193
pancreas
 -, diseases 763
 --, trypsin 763
 -, function test 551
 --, oral 551
 ---, N-benzoyl-L-tyrosyl-p-aminobenzoic acid 551
 ----, and renal function 551
pancreatectomy
 -, and somatotropin release 708
 --, physical exercise 708
paracetamol
 -, copper excretion 713
 -, zinc excretion 713
parathyrin
 -, adsorption on surfaces 595
 -, assay 664
 -, localization 739
 --, immunohistochemical 739
 -, magnesium metabolism 257
 -, radioimmunoassay 739, 789
 --, homologous 789
 --, influence of the tracer 739
 -, serum 747
 --, neonates 747
 --, pregnancy 747
particle counting immunoassay
 -, proteins 701
 -, thyroxine 701
PCV
 -, reference values 621
penicillamine
 -, copper excretion 713
 -, zinc excretion 713
pepsinogens
 -, serum 688, 700
 --, radioimmunoassay 688, 700
peptide hormones
 -, reversed-phase chromatography 731
peptides
 -, bee venom 723
 --, and granulocyte migration 723

perfusion
 -, placenta 747
 ---, dehydroepiandrosterone metabolism 747
peroxidase
 -, assay 345
 --, enzyme immunoabsorbent assay 345
pH 829
phage test 1
phenazone
 -, plasma 817
 --, gas chromatography 817
phenobarbital
 -, serum 227
 --, determination 227
phenylalanine
 -, metabolism 755
 --, pregnancy 755
phenylketonuria 755
phenylpyruvic acid
 -, blood 755
phenytoin
 -, serum 227
 --, determination 227
phosphatase, acid
 -, determination 603
 --, continuous 603
 -, prostate 669, 681, 682
 --, method comparison 681
 -, prostate carcinoma 297
 -, prostatic 627
 --, determination 627
phosphatase, alkaline
 -, stabilization 698
phosphatidyl choline
 -, oestrogen receptor 728
 --, capacity modulation 728
phospholipids
 -, unsaturated 750
 --, serum 750
phosphorus
 -, bone biopsy 403
 --, neutron activation analysis 403
phosphorylation
 -, proteins 111
 --, carbon tetrachloride poisoning 111
physical chemistry
 -, quantities and units 829
pineal gland
 -, synchronization of cell function 763
placenta
 -, aminopeptidases 631
 -, cystine aminopeptidase 631
 -, dehydroepiandrosterone metabolism 747
 -, proteins 821
placental lactogen 748
 -, enzyme immunoassay 735
plasma see also blood, serum
 -, adrenal steroid hormones 740
 --, circadian variation 740
 --, episodic variation 740
 -, 5-androsten-3 β , 17 β -diol 117
 --, α_2 -antiplasmin 221
 --, antipyrene® 817
 --, gas chromatography 817
 --, after glycagon 909

- plasma see also blood, serum
 -, catecholamines 413, 431
 --, conjugated 431
 ---, determination 413
 ----, radioenzymatic 413
 -, colloid osmotic pressure 233
 -, corticotropin 740
 --, circadian variation 740
 --, episodic variation 740
 -, cortisol 740
 --, diurnal variation 740
 -, C-peptide 313
 -, C-reactive protein 701
 -, dehydroepiandrosterone 117
 -, density 615
 --, and haemolysis 615
 -, dopamine 367
 -, enzymes 89
 --, IFCC methods 89
 -, epinephrine 367
 -, fibronectin 797, 893
 --, liver diseases 893
 -, γ -glutamyltransferase 237
 --, and ethanol 237
 -, HDL-cholesterol 737
 --, and thyroid state 737
 -, heparin 658
 --, clinical relevance 658
 --, determination 658
 -, insulin 313
 -, iron 714
 --, method comparison 714
 -, α_2 -macroglobulin 221
 -, magnesium 257
 -, norepinephrine 367
 -, peptide hormones 731
 --, separation 731
 -, phenazone 817
 --, gas chromatography 817
 -, polyamines 157
 -, proinsulin 313
 -, protein 744
 --, variation 744
 -, proteins 615
 --, determination 615
 ---, oscillator technique 615
 -, renin 367
 -, β -thromboglobulin 656
 --, clinical significance 656
 --, determination 656
 platelets
 -, adenosine nucleotides 712
 -, reference values 621
 -, tetrahydro- β -carboline 133
 -, tetrahydronorharmane 133
 -, thromboxane synthesis 708
 --, inhibition 708
 ---, by N-acetyl neuraminic acid 708
 plausibility
 -, intervals 694
 --, age 694
 --, sex 694
 plexus chorioideus
 -, lectin receptors 380
 podocytes
 -, glomerular 381
 --, and lectins 381
 polyacrylamide gel electrophoresis
 -, sample preparation 23
 polyamines
 -, plasma 157
 --, determination 157
 -, urine 157, 698
 --, cancer patients 698
 --, determination 157
- polyarthritis, chronic
 -, N-acetylglucosaminidase 53
 --, urine 53
 -, proteins 53
 --, urine 53
 ----, dielectrophoresis 53
 potassium
 -, urine 703
 practicability 78
 prealbumin
 -, cerebrospinal fluid 7, 245, 746
 --, determination 245
 precision 69, 78, 433
 -, matrix effects 461
 -, method comparison 461
 prednisone
 -, leukemia treatment 690
 --, ATP 690
 pregnancy
 -, calcitonin 747
 --, complications therapy 748
 --, and oestriol 748
 --, and placental lactogen 748
 --, and progesterone 748
 -, parathyroid 747
 -, phenylalanine 755
 --, metabolism 755
 -, progesterone 355
 --, urine 355
 pregnancy monitoring
 -, pregnancy-specific β_1 -glycoprotein 701
 pregnancy specific β_1 -globulin 821
 pregnancy-specific β_1 -glycoprotein
 -, enzyme immunoassay 701
 -, radioimmunoassay 701
 -, pregnancy monitoring 701
 -, tumour marker 701
 pressure
 -, colloid osmotic 233
 -, partial 829
 --, carbon dioxide 829
 --, oxygen 829
 primidone
 -, serum 227
 --, determination 227
 processor
 -, specifications 947
 progesterone
 -, pregnancy 748
 -, radioimmunoassay 734
 -, urine 355
 --, determination 355
 progesterone
 -, binding 724
 --, melanoma 724
 proinsulin
 -, plasma 313
 -, urine 313
 prolactin
 -, serum 867
 --, after insulin 867
 --, after thyroliberin 867
 promegestone
 -, receptor binding 729
 prostate
 -, carcinoma 297
 --, phosphatase, acid 297
 -, phosphatase, acid 627, 669, 681, 682
 --, determination 627, 681, 682
 ----, with indoxylphosphate 682
- protease
 -, inhibitors 671
 --, in endotoxaemia 671
 proteases
 -, amniotic fluid 749
 protein
 -, cow's milk 715
 --, folate binding 715
 --, 5-methyltetrahydrofolate binding 715
 --, determination 501
 --, immunoturbidimetry 501
 --, interleukin-2 inducing 716
 --, serum 716
 -, leukaemia serum 716
 --, folate binding 716
 --, malnutrition 287
 --, metabolism 901
 --, glomerula 901
 --, plasma 744
 --, variation 744
 --, synthesis 111
 --, liver 111
 ----, after carbon tetrachloride 111
 --, total 687, 696, 697
 --, determination 696, 697
 ----, method comparison 697
 --, fenoterol 687
 --, verapamil 687
 protein-A
 -, IgG binding 677
 -, macro enzyme binding 677
 protein binding
 -, clobazepam 209
 protein pattern
 -, cerebrospinal fluid 23
 --, and sample preparation 23
 proteins
 -, cerebrospinal fluid 123
 --, nephelometry 123
 -, lectin binding 382
 -, placental 821
 --, plasma 615
 --, determination 615
 ----, oscillator technique 615
 -, stabilization 684
 --, by heavy water 684
 -, urine 53
 --, disc electrophoresis 53
 ----, value, diagnostic 53
 proteoglycans
 -, synthesis 684
 --, in liver cell injury 684
 pseudocholinesterase
 -, and HDL-cholesterol 684
 purines
 -, metabolism 754
 --, *Lesch-Nyhan* syndrome 754
 putrescine
 -, determination 157
- quality
 -, requirements 861
 --, health care 861
 quality control 855, 861
 -, assessment of methods 78
 -, biotransformation enzymes 775
 -, haematology 649
 -, internal 535
 --, principles 69, 78
 --, radioimmunoassay 215
 --, survey, external 183, 511
 --, cortisol 183
 --, thyroxine 511
 --, triiodothyronine 511
- quality control
 -, terminology 69
 quantities 829
- radioenzymatic assay
 --, catechol-O-methyltransferase 672
 --, hair root cells 672
 radioimmunoassay
 -, aldosterone 742
 -, 5-androsten-3 β , 17 β -diol 117
 -, anti-Factor VIII clotting activity 711
 -, apolipoprotein A-I 917
 -, apolipoprotein A-II 917
 -, cAMP 732
 --, inhibition by EDTA 732
 -, chenodeoxycholic acid 491
 -, cholic acid 491
 -, confidence intervals 879
 --, creatine kinase-B 678, 679
 -, data 660
 --, computer processing 660
 -, dehydroepiandrosterone 117, 741
 --, evaluation 215, 879
 -, Factor VIII-related antigen 711
 -, F-CB3 711
 -, fibrinopeptide-A 711
 -, homologous 789
 --, parathyroid 789
 --, 18-hydroxycorticosterone 742
 -, kallikrein 395
 -, magnetic solid-phase 706
 -, pepsinogens 688
 -, phosphatase, acid 681, 682
 -, pregnancy-specific β_1 -glycoprotein 701
 -, progesterone 734
 --, quality control 215
 --, parathyroid 739
 --, influence of the tracer 739
 -, solid phase 585
 --, parathyroid 585
 -, somatostatin 734
 -, standard curve 105
 --, calculation 105
 --, standardization 659
 -, testosterone 741
 -, thyrotropin 807
 --, method comparison 807
 -, thyroxine 571, 700
 --, separation system 700
 -, triiodothyronine 571
 radioimmunosorbent test
 -, IgE 145
 radioreceptor assay
 -, somatostatin 734
 rapid tests
 -, CSF diagnosis 7
 --, sensitivity 7
 rat
 -, glycosaminoglycans 279
 --, liver 279
 --, serum 279
 RBC
 -, reference values 621
 receptors
 -, cAMP 656
 --, tissue 656
 ----, malignant 656
 -, glucocorticoid 655
 --, leukaemia cells 655
 --, oestrogen 653, 728
 --, capacity modulation 728
 ----, by phosphatidyl choline 728
 --, mammary carcinoma 653

- receptors
 -, steroid 654, 725, 726, 727, 728, 729
 ---, determination 725, 726, 727, 728, 729
 ---, endometrium 654
 ---, stability 726
 -, studies 653
 ---, principles 653
 reference material
 -, coagulation 744
 reference range
 -, glucose 745
 ---, bivariate 745
 ---, CSF/Serum 745
 reference values
 -, aluminium 591
 ---, serum 591
 -, children 713
 ---, copper 713
 ---, serum 713
 ---, urine 713
 ---, zinc 713
 ---, serum 713
 ---, urine 713
 -, haematology 621
 -, lactate dehydrogenase 305
 ---, age dependency 305
 reliability
 -, criteria 197
 ---, enzyme immunoassay 197
 renal damage
 -, tubular 53
 ---, N-acetylglucosaminidase 53
 ---, urine 53
 ---, disc electrophoresis 53
 ---, urine proteins 53
 renin
 -, plasma 367
 ---, exercise 367
 renin-angiotensin-aldosterone system
 -, fenoterol 687
 -, verapamil 687
 resorption
 -, magnesium 257
 reversed-phase chromatography
 -, peptide hormones 731
 ribosomes
 -, proteins 111
 ---, in liver injury 111
 rifampicin
 -, and cortisol 897
 ---, blood 897
 ---, of men 897
 -, and testosterone 897
 ---, blood 897
 ---, of men 897
 risk populations
 -, identification 763
 ---, enzyme tests 763
- sample
 -, preparation 23
 ---, polyacrylamide gel electrophoresis 23
 -, processor 692
 sampling
 -, specifications 947
 Scherer medal 929
 schizophrenia
 -, methionine adenosyltransferase 763
 „Schneller Block“ 693
 scintigraphy
 -, immune 821
- scoliosis
 -, in children 672
 ---, glycosaminoglycans 672
 screening
 -, cystinuria 303
 ---, hypothyroidism 755, 807
 ---, congenital 755, 807
 seminal plasma
 -, fibronectin 797
 septicaemia
 -, immune complex-like material 717
 serotonin
 -, synchronization of cell function 763
 serum see also blood, plasma
 -, albumin 96
 ---, standard 96
 -, aluminium 591
 ---, emission spectral analysis 591
 -, antiepileptics 720
 ---, enzyme immunoassay 720
 ---, gas chromatography 720
 -, bilirubin, total 27
 ---, neonates 27
 ---, survey report 27
 -, carbamazepine 227
 -, carcinoembryonic antigen 175
 -, calcitonin 747
 ---, neonates 747
 ---, pregnancy 747
 -, cefotaxime 719
 -, chenodeoxycholic acid 491
 -, cholesterol 752
 -, cholic acid 491
 -, clobazepam 209
 -, copper 712, 713
 ---, determination 712
 ---, reference values 713
 ---, children 713
 -, corticosteroid binding globulin 137
 -, cortisol 183, 867
 ---, after insulin 867
 ---, quality control survey 183
 ---, after thyroliberin 876
 -, creatine kinase 675, 676, 679
 ---, Duchenne muscular dystrophy 675
 ---, isoenzymes 676, 679
 ---, acute myocardial infarction 676
 ---, acute craniocerebral damage 676
 -, creatinine 385, 423
 ---, determination 385
 ---, variation 423
 -, deacetylcetotaxime 719
 -, delipidation 917
 ---, high density lipoproteins 917
 -, apolipoproteins 917
 -, enzymes 89
 ---, IFCC methods 89
 -, ethanol 722
 ---, microdetermination 722
 -, ethosuximide 339
 ---, gas chromatography 339
 -, fucosyltransferase 670
 ---, tumour therapy monitoring 670
- serum see also blood, plasma
 -, glucose 49, 867
 ---, after insulin 867
 ---, after thyroliberin 867
 ---, kinetic determination 49
 ---, hexokinase method 49
 -, glycosaminoglycans 279
 -, IgE 145
 -, immunoglobulines 718
 ---, determination 718
 -, iron 147
 -, lipoproteins 749, 752, 753
 ---, coronary heart disease 749
 -, α_2 -macroglobulin 67, 671
 ---, *Dyggve-Melchior-Clausen* syndrome 67
 -, magnesium 257
 -, methotrexate 169
 ---, enzyme immunoassay 169
 -, monoamine oxidase 921
 ---, in hepatic fibrosis 921
 -, 5'-nucleotidase 333
 -, oestrogens 327
 -, parathyrin 747
 ---, neonates 747
 ---, pregnancy 747
 -, pepsinogens 688, 700
 ---, kidney transplantation 688
 -, phenobarbital 227
 -, phenytoin 227
 -, phospholipids 705
 ---, unsaturated 750
 -, primidone 227
 -, prolactin 867
 ---, after insulin 867
 ---, after thyroliberin 867
 -, protein 716
 ---, interleukin-2 inducing 716
 -, sex hormone binding globulin 137
 -, sex hormones 737
 ---, liver diseases 737
 -, sialyltransferase 271
 -, somatotropin 867
 ---, after insulin 867
 ---, after thyroliberin 867
 -, standard 99
 ---, IFCC 74/1 99
 -, thyroid hormones 737
 ---, liver diseases 737
 -, thyrotropin 755, 867
 ---, hypothyroidism 755
 ---, congenital 755
 ---, after insulin 867
 ---, after thyroliberin 867
 -, thyroxine 571
 ---, radioimmunoassay 571
 -, triiodothyronine 571
 ---, radioimmunoassay 571
 -, urea 423
 ---, variation 423
 -, uric acid 363, 702, 745
 ---, age dependency 745
 ---, sex dependency 745
 -, valproate 339
 ---, gas chromatography 339
 -, valproic acid 497
 ---, gas chromatography 497
 -, zinc 712, 713
 ---, determination 712
 ---, reference values 713
 ---, children 713
 sex
 -, of the child 611
 ---, and β -glucuronidase 611
 ---, amniotic fluid 611
 -, plausibility intervals 694
- sex dependency
 -, uric acid 745
 ---, serum 745
 sex-hormone binding globulin
 -, binding capacity 137
 ---, in liver cirrhosis 137
 -, and 5α -dihydrotestosterone 730
 ---, and oestradiol 730
 ---, and testosterone 730
 sex hormones
 -, serum 737
 ---, liver diseases 737
 shock
 -, cardiogenic 675
 ---, lactate dehydrogenase isoenzymes 675
 sialyltransferase
 -, inhibitors 271
 -, serum 271
 ---, determination 271
 ---, interferences 271
 significance
 -, laboratory diagnosis 743
 sodium
 -, urine 703
 somatostatin
 -, catabolism 734
 -, radioimmunoassay 734
 -, radioreceptor assay 734
 somatotropin
 -, release 708
 ---, in pancreatectomized men 708
 ---, and physical exercise 708
 -, serum 867
 ---, after insulin 867
 ---, after thyroliberin 867
 specifications
 -, analysers 947
 ---, guidelines 947
 specificity 78
 spectrometers
 -, specifications 445
 ---, listing 445
 spectrophotometry
 -, turbidity 149
 ---, influence of 149
 spermidine
 -, determination 157
 spin label method
 -, application in haematology 648
 spleen
 -, magnesium 257
 spline functions 105
 stability
 -, alanine aminotransferase 521
 standard
 -, albumin 96
 -, serum 99
 ---, IFCC 74/1 99
 standard curve
 -, radioimmunoassay 105
 ---, calculation 105
 standardization
 -, radioimmunoassay 659
 standards 855
 statistical methods 69
 statistics
 -, problems 433
 ---, in method comparison 433
 stem cell population
 -, monitoring 648
 ---, acute myeloid leukaemia 648

- steroid**
 --, epoxides 937
 --, carcinogenesis 937
 --, extraction 355
 --, microassays 661
 --, receptor 725, 726, 727,
 728, 729
 --, determination 725, 726,
 727, 728, 729
 --, stability 726
stimulation
 --, hypophysis 867
stomach
 --, magnesium 257
streptomycin
 --, and cortisol 897
 --, blood 897
 ---, of men 897
 --, and testosterone 897
 --, blood 897
 ---, of men 897
streptozotocin 901
stress
 --, lead elimination 163
substrates
 --, chromogenic 557, 631
succinyl-ala-ala-val-4-nitro-anilide
 --, elastase substrate 699
sucrose
 --, interference 23
 --, protein pattern 23
sulfate
 --, inorganic 651
 --, physical exercise 651
survey report
 --, bilirubin, total 27
 --, serum 27
 ---, neonates 27
superoxide dismutase
 --, erythrocytes 771
 --, cord blood 771
 --, maternal 771
synchronization
 --, cell function 763
synovial fluid
 --, fibronectin 797
- T-cell receptors**
 --, antigen specific 1
 --, detection 1
 --, isolation 1
T-lymphocytes 1
dTTPase
 --, tumour marker 683
Tamm-Horsfall glycoprotein
 --, kidney 376
temperature
 --, enzyme assay 89
terminology
 --, quality control 69
testosterone
 --, blood 897
 --, of men 897
 ---, after rifampicin 897
 ---, after streptomycin 897
 --, enzyme immunoassay 661
 --, and sex-hormone binding
 globulin 730
 --, urine 741
 --, determination 741
tetrahydro- β -carboline
 --, platelets 129
tetrahydronorharmane
 --, platelets 129
thin layer chromatography
 --, androgens 117
 --, clobazepam 209
- thin layer chromatography**
 --, metanephrine 413
 --, 3-methoxytyramine 413
 --, normetanephrine 413
 --, tetrahydronorharmane 129
thrombocytes
 --, reference values 621
 β -thromboglobulin
 --, plasma 656
 ---, determination 656
 --, clinical significance 656
thromboplastic activity
 --, arterial walls 545
thrombosis 545
thromboxane
 --, synthesis 708
 --, inhibition by N-acetyl
 neuraminic acid 708
thyroid
 --, function 909
 --, and cAMP 909
 --, plasma 909
 ---, after glucagon 909
 --, state 737
 --, and HDL-cholesterol 737
 --, hormones 257, 737, 738
 --, diabetogenic action 738
 --, magnesium metabolism 257
 --, serum 737
 ---, liver diseases 737
thyroloberin
 --, neuroendocrine function
 test 867
thyrotropin
 --, radioimmunoassay 807
 --, blood spot 807
 --, serum 755
 --, hypothyroidism 755
 ---, cut-off point 755
thyroxine
 --, particle counting immunoassay 701
 --, quality control survey 511
 --, external 511
 --, radioimmunoassay 700
 --, separation system 700
 --, serum 571
 --, radioimmunoassay 571
tissue
 --, cAMP 656
 --, receptors 656
tissue polypeptide antigen
 821
tocolysis
 --, fenoterol 687
 --, verapamil 687
transferrin
 --, determination 702
 --, monoferric 563
 --, isolation 563
transplant rejection
 --, α_1 -antitrypsin 241
 --, serum 241
transport
 --, magnesium 257
Trinder reagent
 --, peroxidase assay 345
triiodothyronine
 --, enzyme immunoassay 718
 --, quality control survey 511
 --, external 511
 --, serum 571
 --, radioimmunoassay 571
trypanosome
 --, characterization 383
 --, by lectins 383
trypsin
 --, immunoreactive 763
 --, pancreatic diseases 763
- tuberculosis**
 --, treatment 897
 --, and cortisol 897
 --, and testosterone 897
tumour
 --, fucosyltransferase 670
 --, marker
 ---, carinoembryonic antigen 175
 --, diagnostic significance 821
 --, dTTPase 683
 --, galactosyltransferase II 763
 --, pregnancy-specific β_1 -glycoprotein 701
 --, therapy monitoring 670
turbidimetry
 --, proteins 245
 --, cerebrospinal fluid 245
turbidity
 --, interference 149
 --, in spectrophotometry 149
- UDP-glucuronyltransferase** 307, 775
units 829
uranyl acetate
 --, deproteinization 129
 --, glucose determination 129
urea
 --, clearance 423
 --, determination 706
 --, kinetic methods 706
 --, physical exercise 651
 --, serum 423
 --, variation 423
 --, urine 423, 703
 --, variation 423
uric acid
 --, determination 59
 --, enzymatic 59
 ---, interference 59
 --, SMAC 363
 --, gestos 749
 --, physical exercise 651
 --, serum 363, 702, 745
 --, age dependency 745
 --, high performance liquid
 chromatography 745
 --, method comparison 702
 --, sex dependency 745
urine
 --, N-acetyl- β -D-glucosaminidase 53, 687
 --, under amikacin therapy 687
 --, under cisplatin therapy 687
 --, determination 53
 ---, value, diagnostic 53
 --, adrenalin 567
 --, alanine aminopeptidase 687
 --, under amikacin therapy 687
 --, under cisplatin therapy 687
 --, aldosterone 742
 --, analysis 703
 --, Astra-8 Analyzer 703
 --, ascorbic acid 715
 --, determination 715
 ---, isotachophoresis 715
 --, ATP 686
 --, bioluminescence assay 686
 --, C-peptide 313
 --, cefotaxime 719
 --, chloride 703
 --, clobazepam 209
- urine**
 --, copper 713
 --, reference values 713
 ---, children 713
 --, creatinine 385, 423, 703
 --, determination 385
 --, variation 423
 --, dehydroepiandrosterone 741
 --, desacetylcefotaxime 719
 --, dopamine 567
 --, enzymes 686
 --, kidney damage 686
 --, glucose 275, 703
 --, 18-hydroxycorticosterone 742
 --, hydroxylysyl glycosides 287
 --, hydroxyproline 287
 --, insulin 313
 --, kallikrein 395
 --, radioimmunoassay 395
 --, maltase 685
 --, 3-methoxy-4-hydroxyphenylglycol 579
 --, gas chromatography 579
 --, N1-methyl adenosine 696
 --, N7-methyl guanosine 696
 --, 3N-methylhistidine 755
 --, muscle catabolism 755
 --, noradrenalin 567
 --, oestrogens 731
 --, method comparison 731
 --, orotic acid 293
 --, peptide hormones 731
 --, separation 731
 --, polyamines 157, 698
 --, potassium 703
 --, progesterone 355
 --, pregnancy 355
 --, proinsulin 313
 --, proteins 53
 --, disc electrophoresis 53
 ---, value, diagnostic 53
 --, protein, total 697
 --, sodium 703
 --, testosterone 741
 --, urea 423, 703
 --, variation 423
 --, urokinase 557
 --, zinc 713
 --, reference values 713
 ---, children 713
urokinase
 --, urine 557
- valproate**
 --, serum 339
 --, gas chromatography 339
valproic acid
 --, gas chromatography 497
value, diagnostic
 --, N-acetylglucosaminidase 53
 --, urine 53
 --, clinical-chemical tests 743
 --, disc electrophoresis 53
 --, proteins 53
 ---, urine 53
values
 --, assigned 461, 855
 --, definition 461
 --, designated 855
 --, reference method 461
variation
 --, circadian 740
 --, adrenal steroid hormones 740
 ---, plasma 740
 --, corticotropin 740
 ---, plasma 740

- variation
 - , diurnal 740
 - , cortisol 740
 - , plasma 740
 - , free 740
 - , total 740
 - , episodic 740
 - , adrenal steroid hormones 740
 - , plasma 740
 - , corticotropin 740
 - , plasma 740
 - , longitudinal 423
 - , creatinine 423
 - , serum 423

- variation
 - , protein 744
 - , plasma 744

- verapamil
 - , and hormones in pregnancy 748
 - , tocolysis 687

- vinblastin
 - , leukaemia treatment 690
 - , ATP 690

- vincristin
 - , leukaemia treatment 690
 - , ATP 690

- vitamin D
 - , assay 765
 - VLDL 750

- WBC
 - , reference values 621

- water
 - , heavy 684, 747
 - , organ preservation 747
 - , protein stabilization 684

- zinc
 - , excretion 713

- zinc
 - , in rat bile 713
 - , and glutathione depletion 713
 - , and paracetamol 713
 - , and penicillamine 713
 - , serum 712
 - , determination 712
 - , atomic absorption spectrometry 712
 - , reference values 713
 - , children 713
 - , urine 713
 - , reference values 713
 - , children 713

J. Clin. Chem. Clin. Biochem.
Vol. 18, 1980, pp. 105–109

Comparison of Four Different Algorithms for the Calculation of Radioimmunoassay Standard Curves¹⁾

By I. Marschner, R. Herndl and P. C. Scriba

Medizinische Klinik Innenstadt der Universität München, Munich, W.-Germany

(Received July 13, 1979)

Summary: Standard curves from 150 determinations of 10 different hormone radioimmunoassays have been evaluated using the following four procedures: logit transformation as performed by *Rodbard, Healy's* 4-component-logit, spline approximation and a linear interpolation program. The results, calculated by computer, have been compared with manual analysis as the reference method. The influence of various correction factors has been studied by artificial insertion of outliers.

Approximately two thirds of all investigated curves could be calculated with almost equal success using all 4 methods. In calculating the remaining third of the standard curves, each method showed characteristic errors which depended upon the reliability of the assay data and the kind of outliers.

The results suggest that the smoothing by spline function is the most flexible method in approximating a radioimmunoassay standard curve. In comparison with the other methods it is less influenced by random errors and fits the characteristic and symmetry of the ideal curve most exactly.

The 4-component logit which has been extended by data screening is an improvement of the original logit transformation. Certain reservations exist, however, in elimination of outliers because of the dispersion of the data points, and also because of the arbitrarily set thresholds.

Vergleich unterschiedlicher Algorithmen zur Berechnung von Radioimmunoassay-Standardkurven

Zusammenfassung: Die Standardkurven aus 150 Radioimmunoassays (RIA) von 10 Hormonbestimmungen wurden nach 4 Verfahren – nämlich der Logit-Transformation nach *Rodbard*, dem 4-Komponenten-Logit von *Healy*, der Spline-Approximation und einem linearen Interpolationsprogramm – mittels EDV berechnet und die Ergebnisse mit der graphisch manuellen Auswertung als Bezugsmethode verglichen. Durch artificielles Einfügen von Ausreißern wurde der Einfluß verschiedener Korrekturglieder untersucht.

Etwa zwei Drittel aller untersuchten Kurven ließen sich mit den 4 Verfahren annähernd gleich gut berechnen. Das letzte Drittel führte bei den einzelnen Methoden in Abhängigkeit von der Güte der Ausgangsdaten und der Art der aufgetretenen Ausreißer zu für die jeweiligen Berechnungsverfahren charakteristischen Fehlern.

Die Ergebnisse zeigen, daß die Glättung mittels Spline Funktionen die flexibelste Methode zur Approximation einer RIA-Standardkurve ist. Sie erweist sich gegenüber fehlerbehafteten Daten stabiler als die anderen Methoden und paßt sich der Charakteristik und Symmetrie der zu berechnenden Kurven am genauesten an.

Das mit einem Datenscreening erweiterte 4-Komponenten-Logit stellt eine Verbesserung der ursprünglichen Logit-Transformation dar, wenn auch prinzipielle Bedenken gegen eine Ausreißereliminierung auf Grund der Streuung von Meßpunkten wegen der unsicheren Bestimmung der Schwellenwerte bestehen bleiben.

Introduction

Influenced by the increasing number of radioimmunochemical samples stemming from clinical routine and research, methods for the calculation of the assay standard curves directly from count rates have increasingly replaced the classical graphic-manual evaluation pro-

cedure. Since the first publication of *Rodbard et al.* (1), describing the logit transformation, numerous publications have been written about modifications of this approach (2, 3). Equally numerous procedures have been

¹⁾ Supported by the Deutsche Forschungsgemeinschaft (SFB 51) and the Bundesministerium für Forschung und Technologie.

described, which mostly employ geometrical functions approximating the sigmoid form of the radioimmunoassay standard curve – some with more success than others (4, 5, 6). It is notable that some of these calculating procedures show considerable deviations from the original data, especially in those cases of more than usually oscillating curves.

The aim of this publication was to compare four well known procedures for the calculation of radioimmunoassay standard curves based on different mathematical algorithms. The reference method for all data was the manual graphical approach²⁾.

Materials and Methods

For the comparison three methods of broad general applicability and equal mathematical complexity were selected. All methods based on geometric functions were rejected because of their rigidity. As an additional method, a procedure was chosen which required only a minimum of mathematical calculation, in order to justify the use of the other three algorithms. In this comparison the four following methods were chosen.

Algorithms

Logit transformation (LoR)

The logit transformation (8) attempts to linearise the radioimmunoassay standard curve by a transformation of the ordinate according to the formula:

$$(Equ. 1) \quad y = \frac{B - N}{B\emptyset - N}$$

$$(Equ. 2) \quad \bar{y} = \text{logit } y = \log \frac{y}{1-y}$$

$$(Equ. 3) \quad \text{working-logit: } \hat{y} = \frac{y - \bar{y}}{y(1-y)} + \bar{y}$$

B = count rate of the bound fraction

$B\emptyset$ = count rate of the bound fraction of the zero standard

N = non-specific binding

The variables with the bar stem from the respective previous iteration.

The mathematical part of the computer program represents a weighted regression, which gives preference to the data points with lower count rates. This corresponds to the hypothesis that precision decreases with increasing count rates (error model 2 of *Rodbard & Lewald* (8)). The straight line, representing the standard curve, is calculated from the means of the count rates, the corresponding standard concentrations and a linear equation, determining the weighting of the means. The first rough calculation of an unweighted regression line is followed by the determination of the weighting equation. In addition, the mean values of the replicates are corrected by using the so called "working logit". This iteration is done five times. The program used for our comparison was established in a modular way as published by *Rodbard & Hutt* (3). Proceeding from this logit-transformation, which alternates the rough data by means of weighting and working logit, three further modifications were developed:

- I) Calculation of the standard curve, using the weighting procedure but without the working logit.

²⁾ Preliminary results have already been presented at the Annual Congress of the German Society for Endocrinology in 1975 (7).

II) Calculation of the standard curve, using the working logit but not the weighting procedure.

III) Calculation of the standard curve, using neither working logit nor weighting procedure.

4-component-logit (LoH)

This procedure has been described by *Healy* (2), and uses the following equations:

$$(Equ. 4) \quad \bar{y} = a + b \cdot q \quad \bar{y} = \text{count rate}$$

$$(Equ. 5) \quad q = \frac{z}{z+1} \quad a \text{ is initially } B\emptyset, \text{ then optimized}$$

$$(Equ. 6) \quad z = e^c - d \cdot \ln x \quad b \text{ is initially } N, \text{ then optimized}$$

$$6) \text{ in } 5) \text{ in } 4) \quad c, d = \text{curve parameters, which are optimized during calculation}$$

$x = \text{standard concentration}$

$$(Equ. 7) \quad \bar{y} = a + b \frac{e^{c-d} \cdot \ln x}{1 + e^{c-d} \cdot \ln x}$$

$$(Equ. 8) \quad \frac{\bar{y} - a}{b} = \frac{e^{c-d} \cdot \ln x}{1 + e^{c-d} \cdot \ln x}$$

Parameters a and b are obtained from a linear regression, setting up the parameters c and d at first arbitrarily, and then optimizing them by iteration. An outlier screening is done by statistical analysis before proceeding to the curve calculation part of the program. This eliminates replicates with too large a standard deviation as well as mean values of measure points which lie too far apart in the preliminary calculated curve. The actual criteria for the outlier screening routine are calculated for each assay individually from the standard deviations of the rough data. The program version used for the comparison was kindly supplied by the author and was able to be run on the department computer without modification.

Spline approximation

Smoothing by spline functions is a widespread method in both technology and physics for the curve fitting of data, which are affected by errors due to experimental reasons (9). In this algorithm, the weight of each measure point is determined by the actual standard deviation of the replicates of each standard concentration (10, 11). The final curve passes closer to a mean value when the standard deviation about this point is smaller. This is influenced by a smoothing factor, which limits the sum of the distances of each mean value to the final curve, dependent upon the corresponding standard deviations (formula 11). The oscillation of the curve is minimized by reducing the square of the area under the second derivative of the curve to a minimum (formula 12). Each standard curve is composed of 3rd degree polynomial functions definable as sectors between two adjacent measure points and which are twice derivable at their connecting points. The final function is that one from all twice derivable functions $g(x)$, which minimized condition 12 with respect to condition 11.

$$(Equ. 9) \quad g(x) = f_i(x) \quad x_i \leq x \leq x_{i+1} \quad i = 0, n$$

$$(Equ. 10) \quad f_i(x) = a_i + b_i(x - x_i) + c_i(x - x_i)^2 + d_i(x - x_i)^3$$

$$(Equ. 11) \quad \sum_{i=0}^n \left(\frac{g(x_i) - y_i}{s d_i} \right)^2 \leq s$$

$$(Equ. 12) \quad \int_{x_0}^{x_n} g''(x)^2 dx \rightarrow \text{minimum}$$

$$(Equ. 13) \quad s = n \cdot f; \quad 1.5 \geq f \geq 0.2$$

y_i = mean percent bound of x_i

x_i = standard concentration

sd_i = standard deviation of x_i

s = smoothing parameter

n = number of concentration steps of the standard curve

f = smoothing factor

a_i, b_i, c_i, d_i = evaluated polynomial parameters

Linear interpolation (I-Pol)

This method connects the mean values of the replicates with straight lines. It has deliberately been chosen as the simplest procedure of expressing the standard curve mathematically.

Data processing equipment

A Siemens 404/3 computer with 64 kilobytes, disc operating system, plotter, fast printer, punched tape, and punched card devices was used. All programs were written in FORTRAN IV. The rough data were taken from 125 routine assays of 10 different hormones (thyrotropin, triiodo-thyronine, thyroxin, lutropin, follitropin, somatotropin, prolactin, gastrin, insulin and arginin-vasopressin), and 25 standard curves from a quality control survey on the radioimmunoassay of insulin, organized by the German Diabetes Association in 1974. The number of concentration steps ranged from six to ten, that of the replicates from two to five. In most of the assays serial dilution of standards was used.

Comparison procedure

At first, each curve was drawn by hand as carefully as possible in a coordinate system with a 40 cm logarithmic abscissa (hormone concentration) and a 50 cm linear ordinate ($y = (B - N)/(B_0 - N) \times 100\%$). At each 3% step on the ordinate, the corresponding x-value was read from the abscissa. These 30 data pairs were punched on papertape and stored on a disc. The 4 mathematical curve fitting procedures were carried out next using on-line plotting routines fitted into the same coordinate net. The corresponding pairs of data from these procedures and the manual reference method were listed on a fast printer, together with the percentage of differences when compared with the reference method, as well as the differences between the mathematical approaches. The maximal and mean differences between two methods were evaluated for further statistical calculations only within the steep part of the curves from 77 to 23% B/B_0 . In addition to the 150 comparisons, a further 60 comparisons were run, after artificial insertion of outliers, to test the influence of weighting routines as well as questions about the curve symmetry.

Results

Types of errors

By summarizing the differences between the results of the compared methods, the following types of errors could be characterized (fig. 1).

a) Differences in the results of two methods because of the calculation of two curves with different slopes (type 1 error, fig. 1a).

b) Correspondence of the results of two methods only in one part of the curve (type 2 error, fig. 1b).

c) Deviations due to distortion of the curve segments (type 3 error, fig. 1c) or the whole curve (type 4 error, fig. 1d), resulting from outliers with small or large standard deviations, respectively.

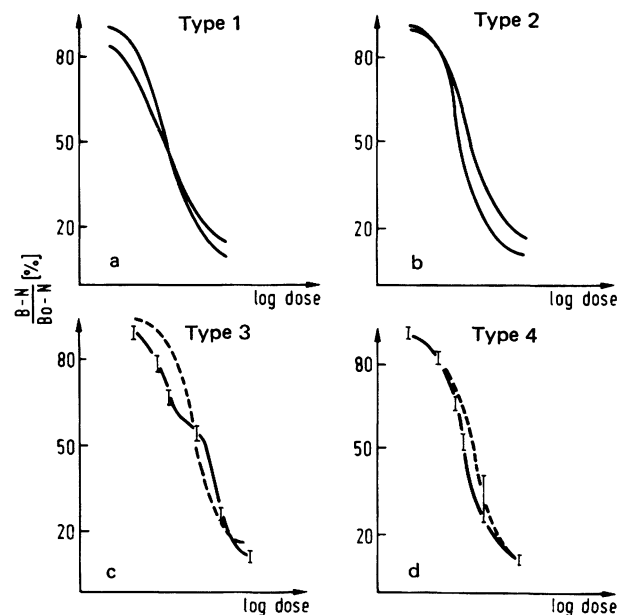


Fig. 1. Schematic representation of the 4 occurring types of error.

In all cases with more than 15% maximum error – shown in 25% of all comparisons – it was possible to use this scheme. Table 1 shows a subdivision of those cases in which deviations of more than 15 or 20% were found. The differences between the 4 mathematical methods and the reference method, as well as those between the mathematical methods, including the types of errors, were listed.

Results of the comparison between the mathematical methods and the reference method

Table 1 shows that the spline-approximation has the smallest differences when compared with the manual

Tab. 1. Subdivision of those cases, in which errors greater than 15% were found.

N = 150 Comparison of	Percentage of cases with maximum deviation		Types of errors			
	greater than 20%	greater than 15%	1	2	3	4
			–	–	–	–
Reference method against spline	4	12	2	2	–	2
Reference method against LoR	12	30	10	1	–	4
Reference method against LoH	6	16	4	4	–	–
Reference method against I-Pol	24	40	–	–	–	–
Spline against LoR	8	24	14	4	3	3
Spline against LoH	6	14	6	5	2	1
LoR against LoH	5	18	4	13	–	1

approach (12). Differences larger than 15% hormone concentration were found in 12% of all cases. With the *Healy* method (LoH) however, these errors occurred in 16% and with the logit program of *Rodbard* (LoR) in 30% of the comparisons. The division into types of error showed that in most of the cases LoR had type 1 error, i. e. the calculated curve is in 9 of 10 cases less steep, and in the remaining case steeper, than the reference curves.

In the part of the standard curve examined, the difference between hand and spline was in 85% of the cases smaller than between hand and LoR. In only 6% of the cases was the reverse seen. In 86% of the cases the difference between hand and LoH was as large as the difference between hand and LoR. Only in the remaining 14% was LoH an improvement.

The linear interpolating program (I-Pol) showed in most of the cases an oscillating course around the other curves, and the results were scattered within the range of the other methods. In 60% of the comparisons, the differences between I-Pol and the reference method, or the other computerized methods represented less than 15% of the hormone concentration.

Comparison between the spline-approximation and the logit-modifications

By comparing only the mathematical methods, the greatest differences occurred between spline and LoR. In 24% of the cases, differences of more than 15% hormone concentration were found. A mean difference within the steep part of the curves of 6% hormone concentration was observed between spline and LoR. The differences between the original data and the ordinate values of the calculated curves were in 95% of the comparisons smaller with spline than with LoR, and in 5% of the comparisons they were equal (13). In most of the cases type 1 errors were found with LoR giving the flatter curve. By comparing LoR with LoH we found deviations greater than 15% in all cases where the *Healy* program eliminated standard measure points with its outlier screening routine. Here in most of the cases type 2 errors were found. In 76% of the comparisons, coincidence of LoR and LoH was found to be within 2% hormone concentration.

For all 4 investigated algorithms it was found that the results, calculated by one of the methods, were always within a one standard deviation range of the other three methods.

In contrast to *Rodbard & Hutt* (3), no significant correlation between the standard deviations of the measure points and their count rates was demonstrated.

Influence of the correction-routine of the LoR-method

In this part of the comparison, an attempt to quantify the influence of the working logit and the weighting

routine of the LoR-program was made using the data of the foregoing comparisons, and artificially changing some data to test the influence of different kinds of outliers. The differences between the four modifications were up to 28% hormone concentration, and increased with decreasing precision and accuracy of the count rates.

The deviations caused by not using the weighting routine were shown to be less marked than the deviations caused by not using the working logit. In 65% of the comparisons, differences of less than 6% hormone concentration were found. The modifications using the working logit (LoR and II) showed the smallest differences when compared with both the curves calculated by spline functions as well as the reference method.

Discussion

The results show good agreement in two thirds of the compared curves (within 10% hormone concentration) between the spline, LoR, and LoH algorithms and the graphical approach. The remainder however show rather surprising differences. Some of these differences are caused by replicates with large standard deviations. The artificial introduction of such an outlier into a standard curve, which originally gave almost identical results with all methods using the original data, led to different influences on the curves calculated by LoR, LoH, and spline. The spline approximation was not affected as the large standard deviation of that measure point reduced its weight considerably. If the LoH method rejected this standard point, the influence on the curve depended on whether the point was at the end or in the middle of the standard curve. If it was in the middle part, the curve was not affected. However, if it was in the higher or lower dose range, a type 2 error resulted. If the *Healy* method did not reject this standard point, the curve was altered in the same way as with the LoR program. If the outlier was in the middle range of the curve, a parallel deviation was found corresponding to error type 4. If it was in the upper or lower part of the curve, deviations or error type 2 were seen.

Outliers with small standard deviation (e. g. a wrong standard dilution) had the same influence on the LoH and LoR programs as those with large standard deviation. In this case, however, the weighting routine of the spline functions (formula 11) has negative consequences (error type 3). The standard curve oscillated at this point, but was not affected in the other curve segments.

A further reason for deviations between the spline, LoH and LoR is that the logit modifications always calculate curves with symmetric character with the inflection point at 50% B/B₀, which does not necessarily correspond with the radioimmunological system. The inflection points of the curves, calculated by spline functions were between 45 and 56%, thus showing rough agree-

ment with the theoretical inflection point. Only in a few assays, however, do the count rates make a symmetrical curve possible.

The analogous deviation of LoH and LoR in the cases of outliers which are not eliminated by LoH, together with the similar standard curves calculated by these algorithms, are due to the algebraic equivalence of the formulas, on which both methods are based.

Logit curve:

$$(Equ. 14) \quad \hat{y} = u + v \cdot \ln x$$

Logit transformation:

$$(Equ. 15) \quad \hat{y} = \ln \frac{\bar{y}}{1 - \bar{y}} = \text{logit } \bar{y}$$

$$(Equ. 16) \quad \ln \frac{\bar{y}}{1 - \bar{y}} = u + v \cdot \ln x$$

$$(Equ. 17) \quad \frac{\bar{y}}{1 - \bar{y}} = e^{u+v \cdot \ln x}$$

$$(Equ. 18) \quad \bar{y} = (1 - \bar{y}) \cdot e^{u+v \cdot \ln x}$$

$$(Equ. 19) \quad \bar{y}(1 + e^{u+v \cdot \ln x}) = e^{u+v \cdot \ln x}$$

$$(Equ. 20) \quad \bar{y} = \frac{e^{u+v \cdot \ln x}}{1 + e^{u+v \cdot \ln x}}$$

The conversion of the logit transformation (formula 16) shows in formula 20 the identity with formula 8.

LoH and LoR do not give identical curves, because the parameters a and b , which are originally the values of N and $(B\emptyset - N)$, are recalculated and corrected according to the other data points. Only in a few cases after the calculation procedure do these values remain identical with the original data. The LoR program also changes the original data through using the working logit procedure and the weighting routine. The similarity of the calculated curves in 71 of 150 comparisons, despite the mathematical differences, led to the program modifications as described above.

The data show that a difference of 15–28% hormone concentration occurred only in the case of insufficient accuracy and precision of the original data (count rates). In these cases, the influence of the working logit subroutine was seen as a useful correction. The influence of the weighting procedure was found to be ambiguous, as it led to an improvement in some cases of outliers, but to errors in others. Normally such a correction lies within the expected error range. It was not necessary to differentiate procedures of weighting routines.

None of the three programs LoR, LoH, and spline approximation, which are equivalent in calculation time and storage capacity, guarantees reliable elimination of those outliers with small standard deviation. It is therefore urged that a graphic on-line representation of the standard curve on the plotter, display, or the fast printer should be made, and manual correction of outliers carried out if necessary.

References

1. Rodbard, D., Bridson, W. & Rayford, P. L. (1969), *J. Lab. Clin. Med. (St. Louis)* **74**, 770–781.
2. Healy, J. J. R. (1972), *Biochem. J.* **130**, 207–210.
3. Rodbard, D. & Hutt, D. M. (1974), in: *Radioimmunoassay and related procedures in medicine*, vol. 1, p. 165–192. IAEA, Vienna.
4. Täljedal, I. B. & Wold, S. (1970), *Biochem. J.* **119**, 139–143.
5. Vivian, S. R. & LaBella, F. S. (1971), *J. Clin. Endocrinol.* **33**, 225–233.
6. Vogt, W., Popp, B. & Knedel, M. (1973), *this J.* **11**, 438–445.
7. Herndl, R. & Marschner, I. (1975), *Acta Endocrinol. (Kbh.) Suppl.* **193**, 117.
8. Rodbard, D. & Lewald, J. E. (1970), *Acta Endocrinol. (Kbh.) Suppl.* **147**, 79–103.
9. Reinsch, C. H. (1967), *Numer. Math.* **10**, 177–183.
10. Marschner, I., Erhardt, F. & Scriba, P. C. (1974), in: *Radioimmunoassay and related procedures in medicine*, vol. I, p. 111–122. IAEA, Vienna.
11. Marschner, I., Dobry, H., Erhardt, F., Landersdorfer, T., Popp, B., Ringel, C. & Scriba, P. C. (1974), *Ärztl. Lab.* **20**, 184–191.
12. Sinterhauf, K., Müller, T., Spira, H. J., Müller, D. & Lommer, D. (1975), *Acta Endocrinol. (Kbh.) Suppl.* **193**, 115.
13. Schoeneshofer, M. (1975), *Acta Endocrinol. (Kbh.) Suppl.* **193**, 116.

Dr. med. Ingo Marschner
cand. med. Rudolf Herndl
Prof. Dr. med. P. C. Scriba
Medizinische Klinik Innenstadt
der Universität München
Ziemssenstraße 1
D-8000 München 2